



## Redesign of energy recovery device to keep the production recovery constant

Abdollah Eskandari Sani\*

Department of Mechanical Engineering, Payame Noor University, Tehran

**ABSTRACT:** One of the problems of producing fresh water by reverse osmosis is its sensitivity to process conditions. In this article, a method for redesigning the hydraulic turbocharger rotor as an energy Recovery device in desalination units has been discussed. For this purpose, firstly, the performance of a desalination unit in operation is investigated. Then, using turbomachinery similarity relations and CFD, two new rotors have been designed for two high- and low-pressure modes and replaced with the primary rotor. The validated results with the test show that despite changing membrane inlet pressure, the amount of produced water was not changed, the total efficiency has increased by more than 4% and the energy recovery has increased by about 2% in the high-pressure mode, which shows that this method can be used in situations where the pressure change of the membranes is noticeably higher or lower than the initial design pressure.

### Review History:

Received: Feb. 09, 2024  
Revised: Aug. 19, 2024  
Accepted: Aug. 22, 2024  
Available Online: Sep. 04, 2024

### Keywords:

Reverse Osmosis  
Permeate Water  
Energy Recovery  
Hydraulic Turbocharger  
CFD

### 1- Introduction

The increase in the need for fresh water and the limitation of natural resources have led to the use of industrial water softeners, especially units that work with the reverse osmosis method, to produce drinking water all over the world. [1]. Usually, in the reverse osmosis method, the waste energy returned from the filtration membranes is used with the help of energy recovery devices. The hydraulic turbocharger is one of the centrifugal energy recovery equipment, which is widely used in reverse osmosis desalination units due to its simplicity of design, flexibility in operation and relatively low supply cost [2]. This equipment has a rotor including the impeller of the pump section, the impeller of the turbine section and the axis connected to them, as well as the outer shell in which the rotor is placed. In many cases, due to the change of working conditions with the initial design, it is necessary to adapt the hydraulic conditions of the entire circuit to their optimal working point [3]. One of the common ways to change the general conditions of desalination units is to use a variable frequency drive (VFD), a pressure relief valve and a turbocharger equipped with an electric motor. However the use of these methods generally requires a waste of energy and a high cost [4]. In the current research, a method has been adopted so that the flow rate of the produced water remains constant and the total efficiency does not change

significantly (more than 10%) as mentioned in section 2. The main difference of this research is focused on the changes in the inlet pressure to the membrane and as a result the return water pressure from it at the inlet to the turbocharger, which is discussed in section 3.

### 2- Method description

In this article, a more affordable option has been discussed. To adjust the operating condition of the plant with raw water condition and membrane inlet pressure, the performance characteristic of the turbocharger has been modified by replacing new rotors. A. When the site condition changes, the existing rotor can be replaced with a new one which is designed for that condition. To do this, two situations were considered: The high-pressure mode when the membrane required pressure is higher than the initial design pressure, and the low-pressure mode when the membrane required pressure is lower than the initial design pressure. The aim is to modify the design of the turbocharger rotor in such a way to achieve the required pressure without a significant change in the permeate recovery in each case. In fig. 1, the steps of the work are represented.

The steps of the work Firstly, the performance of an existing turbocharger was investigated. For this purpose, the flow field inside the existing turbocharger has been modelled

\*Corresponding author's email: hami



Copyrights for this article are retained by the author(s) with publishing rights granted to Amirkabir University Press. The content of this article is subject to the terms and conditions of the Creative Commons Attribution 4.0 International (CC-BY-NC 4.0) License. For more information, please visit <https://www.creativecommons.org/licenses/by-nc/4.0/legalcode>.

**Table 1. The geometric specification and hydraulic parameters of the plant**

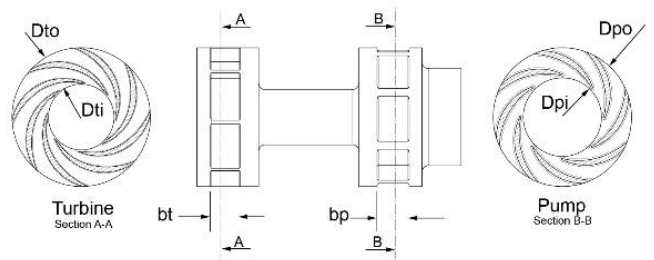
Geometric dimension	Values	hydraulic parameters	Values	Geometric dimension
$D_{to}$	86 mm	$Q_p$ (Inlet Flow)	150 ( $m^3/h$ )	$D_{to}$
$D_{ti}$	41 mm	$P_{in\_p}$	40 (bar)	$D_{ti}$
$bt$	17.5 mm	$P_{out\_p}$	65 (bar)	$bt$
$D_{po}$	86 mm	$P_{in\_T}$	63 (bar)	$D_{po}$
$D_{pi}$	48.8 mm	$P_{out\_T}$	1 (bar)	$D_{pi}$
$bp$	18 mm	$Q_R$ (Reject Flow)	100 ( $m^3/h$ )	$bp$
$Nb$ (blade number)	8	Number of membrane	103	$Nb$ (blade number)
$SL$ (horizontal clearance))	0.6 mm	$\eta$ (Total Efficiency, Eq.2)	60.4%	$SL$ (horizontal clearance))
$SR$ (vertical clearance)	3.5 mm			$SR$ (vertical clearance)
$L$ (clearance length)	54 mm			$L$ (clearance length)

in three dimensions and simulated using CFD analysis. The results have been compared and validated with the site data. Then, using fluid mechanics and similarity relations, two new rotors were designed and the new flow field inside them simulated for two pressure modes. Finally, the obtained data for new rotors were validated again with experimental test results. It has been shown that replacing new rotors can lead to a new situation where the amount of permeate water remains unchanged despite the changing membrane condition.

### 3- Analysis of the Existing Plant Conditions

To investigate the effect of the rotor design on working conditions, a medium plant with a production capacity of 1260  $m^3/day$  (150  $m^3/h$  of raw water), has been studied. In this plant, a high-pressure pump is used with a turbocharger. The hydraulic parameters of the plant and the main geometric specifications of the original turbocharger are presented in Table 1 and Fig. 1.

Using CFD Analysis, the working condition for the existing turbocharger has been obtained at about 16570 rpm and the shaft power of 127 kW (Fig. 10). The result has been validated with test results.



**Fig. 1. The main effective dimensions in the hydraulic characteristics of the turbocharger rotor**

**Table 2. Hydraulic conditions for the main rotor and two new rotors**

Hydraulic Parameters	Existing rotor	High pressure rotor (1)	Low pressure rotor (2)
( $P_{out\_P}$ )	65 bar	68 bar	60 bar
( $P_{in\_T}$ )	63 bar	66 bar	58 bar
( $P_{out\_P} - P_{in\_P}$ )	25 bar	28 bar	20 bar
( $P_{in\_T} - P_{out\_T}$ )	62 bar	65 bar	57 bar
( $Q_p$ )	150 $m^3/h$	150 $m^3/h$	150 $m^3/h$
( $Q_R$ )	100 $m^3/h$	100 $m^3/h$	100 $m^3/h$

### 4- Flow field analysis in new rotors

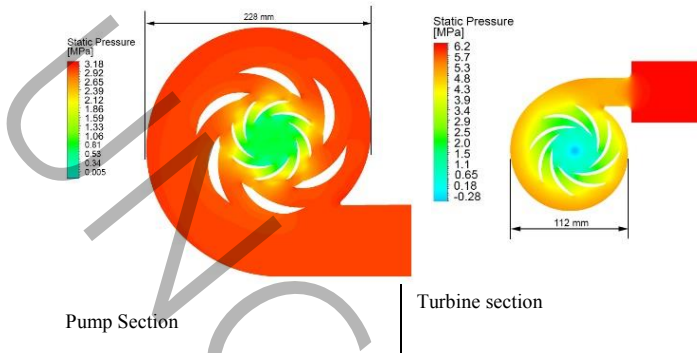
Using new hydraulic conditions for low- and high-pressure modes, the new rotors were preliminary designed using turbomachinery affinity law and the flow field at the pump and turbine section has been simulated. Two pressure mode parameters are presented in Table 2.

Fig. 2 shows the contour of the static pressure in the pump and turbine section for new working conditions in a section parallel to the impeller plane.

### 5- Results

In the test process, to adjust the flow rate of feed and produced water, in accordance with the values used in the hydraulic analysis, the speed of the high-pressure pump and the outlet valve of the wastewater was been adjusted. To compare the design parameters of new rotors, the data obtained from the test and the results obtained from the simulation are shown in Table 3.

HPIP is the input power of the HP pump, Wturbo is the power generated by the turbocharger, and ER is the energy recovery percent.



**Fig. 2. Static pressure contour in pump and turbine section for new working condition**

**Table 3. The results of the test data for three rotors, original, high-pressure and low-pressure rotor**

Rotor	Eff (%)	HPIP (kW)	$W_{Turbo}$ (kW)	ER (%)
Original	60.04	205.5	102.2	30.2
Rotor1	64.6	205.5	114.4	32.3
Rotor1	58.8	205.5	81.7	26.3

## 6- Conclusion

The obtained results show that the design parameters obtained from the similarity methods agree with both the flow field simulation results and the experimental test data with an acceptable difference, and in cases where computer optimization or experimental testing is not possible, it can be a reliable method. According to the results, it can be concluded that in order to keep produced water constant, replacing a new redesigned rotor with the existing one makes sense and is effective economically and hydraulically. In some cases (when high pressure is needed), this method even could lead to higher efficiency and cause a longer life of the turbocharger (due to the use of two or three rotors during the year).

## References

- [1] S. Avlonitis, K. Kouroumbas, N. Vlachakis, Energy consumption and membrane replacement cost for seawater RO desalination plants, Desalination, 157(1-3) (2003) 151-158.
- [2] T.A. El-Sayed, A.A.A. Fatah, Performance of hydraulic turbocharger integrated with hydraulic energy management in SWRO desalination plants, Desalination, 379 (2016) 85-92.
- [3] A.E. Sani, Design and synchronizing of Pelton turbine with centrifugal pump in RO package, Energy, 172 (2019) 787-793.
- [4] A. Drak, M. Adato, Energy recovery consideration in brackish water desalination, Desalination, 339 (2014) 34-39.



## اصلاح توربوشارژر هیدرولیکی واحد نمکزدایی به روش اسمز معکوس متناسب با تغییر شرایط فرآیندی

عبدالله اسکندری ثانی\*

گروه فنی و مهندسی، دانشگاه پیام نور، تهران، ایران.

### تاریخچه داوری:

دریافت: ۱۴۰۲/۱۱/۲۰

بازنگری: ۱۴۰۳/۰۵/۲۹

پذیرش: ۱۴۰۳/۰۶/۰۱

ارائه آنلاین: ۱۴۰۳/۰۶/۱۴

### کلمات کلیدی:

اسمز معکوس

نمک زدایی

توربوشارژر هیدرولیکی

دینامیک سیالات محاسباتی

**خلاصه:** تولید آب شیرین به روش اسمز معکوس، از گزینه‌های به صرفه در بسیاری از کشورها است. یکی از مشکلات این روش، کاهش مقدار آب تولیدی به دلیل تغییر شرایط فرآیندی و آب خام مصرفی است. در این مقاله، به روشی برای بازنگری روتور توربوشارژر هیدرولیکی به عنوان اصلی‌ترین قطعه این تجهیز که نقش بازیافت کننده انرژی در واحدهای آب شیرین کن را دارد، پرداخته شده است. بدین منظور، ابتدا عملکرد یک واحد نمکزدایی در حال بهره برداری بررسی و سپس با استفاده از روابط تشابه در توربوماشین‌ها و دینامیک سیالات محاسباتی، دو روتور جدید برای توربوشارژر موجود طراحی و ساخته شدند تا برای دو حالتی که به دلیل تغییر شرایط، ممبران به فشار بالاتر یا پایین‌تر از طراحی اولیه نیاز دارد، جایگزین روتور موجود شوند. برای صحبت سنجی، نتایج تست با پارامترهای طراحی مقایسه شده‌اند. نتایج نشان می‌دهد علی‌رغم اعمال تغییر در فشار ورودی ممبران، توربوشارژر با روتورهای جدید علاوه بر ثابت نگهداشتن درصد تولید آب، باعث شده است مقدار بازیافت انرژی ثابت بماند و راندمان کل نیز در حالت فشار بالا، از راندمان توربوشارژر اولیه بیش از ۴ درصد و بازیافت انرژی حدود ۲ درصد بیش تر شود که نشان می‌دهد از این روش می‌توان در شرایطی که تغییر فشار ممبران‌ها به صورت محسوسی از فشار طراحی اولیه بالاتر یا پایین‌تر است، استفاده کرد.

### ۱- مقدمه

به طور کلی برای طراحی دستگاه‌های بازیافت انرژی دو مکانیزم وجود دارد: مکانیزم گریز از مرکز و جابجایی مثبت. در واحدهای نمکزدایی اسمز معکوس، مکانیزم گریز از مرکز به دلیل سادگی طراحی، در دسترس بودن، انعطاف‌پذیری در عملکرد و پایین بودن نسبی میزان سرمایه‌گذاری اولیه و هزینه بهره‌برداری به مکانیزم جابجایی مثبت ترجیح داده می‌شوند.

توربوشارژر هیدرولیکی یکی از تجهیزات بازیافت انرژی از نوع گریز از مرکز است که به دلیل سادگی طراحی، انعطاف‌پذیری در عملکرد و پایین بودن نسبی هزینه تأمین، به صورت گستردۀ در واحدهای نمکزدایی به روش اسمز معکوس استفاده می‌شود.

این تجهیز دارای یک روتور شامل پروانه بخش پمپ، پروانه بخش توربین و محور متصل به آنها و همچنین پوسته بیرونی است که روتور درون آن قرار می‌گیرد.

در سازوکار اسمز معکوس، برای افزایش فشار آب خام ورودی به مقداری که برای ورود به ممبران‌های تصفیه نیاز است از پمپ فشار قوی استفاده می‌شود که بیش از ۸۵ درصد انرژی کل واحد را مصرف می‌کند [۳] و در

افزایش نیاز به آب شیرین و محدودیت منابع طبیعی سبب شده است تا استفاده از آب شیرین کن‌های صنعتی به یکی از روش‌های اصلی برای تولید آب شرب تبدیل شود. از سوی دیگر، گران بودن فرآیندهای نمکزدایی موجب شده است تا در سال‌های اخیر تلاش‌ها برای توسعه فناوری تولید غشاء و دستگاه‌های بازیافت انرژی<sup>۱</sup> در روش اسمز معکوس<sup>۲</sup> که دارای بیشترین سهم در تولید آب آشامیدنی در سراسر جهان است، روز به روز افزایش یابد [۱].

یکی از موانع اصلی برای گسترش صنعت نمکزدایی از آب شور، هزینه تولید آب شیرین به این روش است. بخش عمده این هزینه به مصرف انرژی الکتریکی بر می‌گردد که بیش از ۵۰ تا ۶۰ درصد از کل هزینه‌های تولید را در بر می‌گیرد [۲]. به همین دلیل در بیش تر واحدهای نمکزدایی متوسط و بزرگ، استفاده از تجهیزات بازیافت انرژی اجتناب ناپذیر است.

1 Energy Recovey Device (ERD)

2 Reverse Osmosis (RO)

\* نویسنده عهددار مکاتبات: moaven@um.ac.ir

در پژوهش حاضر روشی اتخاذ شده است تا متناسب با تغییر شرایط فرآیندی، دبی آب تولید شده ثابت بماند و راندمان کل نیز دچار تغییر قابل ملاحظه (بیش از ۱۰ درصد) نشود. این روش در تحقیقاتی که در بخش ۲ به آنها اشاره شده است، دیده نشده است، زیرا در همه موارد تأکید اصلی بر بهینه سازی توربушارژر مطابق با نقطه طراحی اولیه است و راهکاری برای تطبیق عملکرد آن با تغییر شرایط بالادست و پایین دست آن که همیشه در عمل انفاق می افتد، ارائه نشده است. تفاوت اصلی این پژوهش بر تغییرات فشار ورودی به ممبران و در نتیجه فشار آب برگشتی از آن در ورودی به توربушارژر متمرکز است که در بخش ۳ به آن پرداخته شده است.

## ۲- پیشینه تحقیق

لوزیر و همکاران آزمایشات خود را روی مدل جدیدی از توربушارژر هیدرولیکی انجام داده و به این جمع بندی رسیدند که توربушارژر هیدرولیکی می تواند تا ۲۳٪ توان ورودی را کاهش دهد [۸].

محمد فاروق و همکارانش به طور مفصل عملکرد چندین سیستم بازیافت انرژی مورد استفاده در واحدهای شیرینسازی آب شور را تشریح و راندمان آنها را با توجه به شرایط عملیاتی برای یک دوره یک ساله و تأثیر آن بر صرفه جویی کل انرژی و مصرف کل انرژی توسط پمپ فشار قوی مقایسه کرده‌اند [۹].

مارک ولیف و همکارانش به بررسی چیدمان و پارامترهای عملکرد آب شیرین‌کن‌های بزرگ آب دریا و فن‌آوری‌های برجسته‌ای که به کاهش هزینه تولید منجر شده‌اند، پرداختند. آنها نتایج تحقیقات‌شان را در قالب فرآیندی جدید که منجر به بهینه شدن عملکردها و کاهش توان مصرفی می‌شود، ارائه نمودند [۱۰].

فریتزمن و همکارانش وضعیت فعلی روش نمک‌زدایی با مکانیزم اسمز معکوس را مورد بررسی قرار دادند و کل فرآیند، از مصرف آب خام تا مرحله پس از تصفیه را تجزیه و تحلیل کردند. در این تحقیق آنها انرژی مورد نیاز واحدهای اسمز معکوس و همچنین سیستم‌های بازیافت انرژی کنونی را با رویکرد کاهش مصرف انرژی تشریح و هزینه‌های روش مذکور را مورد ارزیابی قرار دادند [۱۱].

ماگید جرجیس بین دستگاه‌های بازیافت انرژی در پکیج‌های آب شیرین کن اسمز معکوس از نوع گریز از مرکز و جابجایی مشت مقایسه‌ای جامع انجام داد. او با استفاده از داده‌های تجربی سیستم‌های مختلف اسمز معکوس، دستگاه بازیافت انرژی متفاوتی را از نظر مقدار انرژی مصرفی

نتیجه میزان بازیافت انرژی توسط توربушارژ از اهمیت زیادی برخوردار است. مصرف انرژی در این روش، عمدتاً تحت تأثیر دو عامل است: فشار آب خام در ورود به ممبران برای رسیدن به مقدار آب تولیدی مورد نیاز و عملکرد پمپ تغذیه فشار قوی در ترکیب با تجهیز بازیافت انرژی [۴]. فشار آب خام در ورود به ممبران به مقدار مواد جامد محلول در آب خام<sup>۱</sup>، میزان رسوب در غشاء و نحوه چیش ممبران‌ها بستگی دارد [۵].

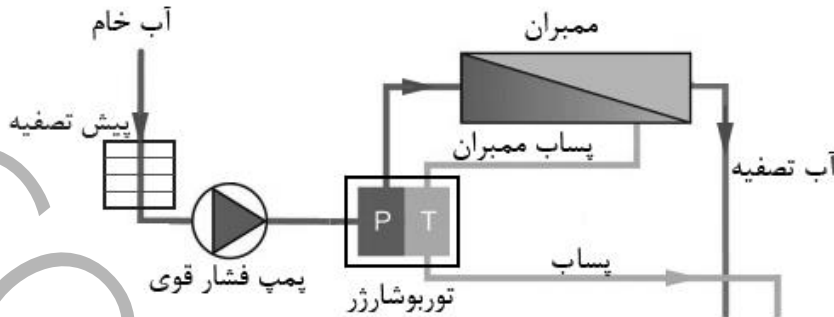
بنابراین، در بسیاری از موارد به دلیل تغییر شرایط کاری نسبت به طراحی اولیه، نقطه کار مجموعه تجهیزات دخیل در فرآیند مذکور به جای یک نقطه مشخص، در طیفی از نقاط کاری (گاهی بسیار دورتر از شرایط بهینه) قرار می‌گیرد. از آن سو، به این علت که تجهیزات توربوماشینی (مانند پمپ فشار قوی و توربушارژر) دارای نقطه کار بهینه‌ای برحسب دبی، فشار و سرعت دورانی هستند، لازم است شرایط هیدرولیکی کل مدار با نقطه کار بهینه آنها تطبیق داشته باشد [۶]. این نکته نیز باید مد نظر قرار گیرد که منحنی عملکرد پمپ فشار قوی خود تحت تأثیر مقاومت هیدرولیکی بخش پایین دست آن یعنی ممبران و توربушارژر است و باید با شرایط هیدرویکی آنها تطابق داشته باشد [۴].

دلایل ذکر شده در بالا، مستلزم آن است که در طراحی تجهیز بازیافت انرژی، کل محدوده عملکردی فرآیند در نظر گرفته شود. اساساً پارامترهای هیدرولیکی مانند دبی آب خام، فشار در ورود به ممبران، دبی پساب و آب تولید شده تحت تأثیر نرخ بازیافت آب شیرین و میزان نفوذپذیری ممبران قرار دارند. توماس منث و همکارانش، محدوده هیدرولیکی سه بعدی را برای پوشش عملکرد یک واحد اسمز معکوس پیشنهاد داده‌اند که در آن تأثیر نرخ بازیافت به عنوان یک متغیر که بیانگر شرایط هیدرولیکی مجاز است، لحاظ گردیده است [۳].

از روش‌های متدال برای تغییر شرایط عمومی واحدهای نمک‌زدایی، استفاده از درایو فرکانس متغیر<sup>۲</sup>، شیر فشار شکن و توربушارژر مجهز به موتور الکتریکی است. درایو، نقطه کار و حداکثر توان مصرفی موتور را بر اساس تشابه هیدرولیکی (که لزوماً با شرایط مد نظر تطبیق نخواهد داشت) تغییر می‌دهد. شیر فشار شکن نیز به طور قابل توجهی باعث اتلاف انرژی می‌شود. موتور کمکی متصل به توربушارژر، برای جبران فاصله بین فشار خروجی از توربушارژر و فشار مورد نیاز ممبران [۷] استفاده می‌شود، اما این روش نیز به توان اضافه برای موتور کمکی نیاز دارد و معمولاً برای واحدهای نمک‌زدایی در مقیاس‌های بزرگ، مقرر نبوده است.

<sup>1</sup> Total dissolved solids (TDS)

<sup>2</sup> VFD



شکل ۱. دیاگرام جریان فرآیند در یک واحد آب شیرین کن به روش اسمز معکوس با توربوبشارژر بازیافت کننده انرژی

Fig. 1. Process flow diagram in a reverse osmosis desalination unit with energy recovery turbocharger

اندروجیمز و همکارانش، برای کاهش مصرف انرژی در مکانیزم اسمز معکوس، چیدمان‌های مختلف پمپ فشار قوی و تجهیزات بازیافت انرژی را با یکدیگر مقایسه و تأثیر انواع مختلف تجهیزات بازیافت انرژی را مورد بررسی قرار دادند [۱۶].

بینگ هوانگ، اصول طراحی سیستم یکپارچه سازی بازیافت انرژی را مورد تجزیه و تحلیل قرار داده‌اند و روش‌هایی را برای کاهش مصرف انرژی و افزایش نرخ تولید ارائه نمودند. تحقیقات آنها، دستورالعمل‌هایی را برای طراحی و انتخاب دستگاه‌های بازیافت انرژی تحت شرایط عملیاتی متفاوت بدست می‌دهد [۱۷].

### ۳- تشریح روش

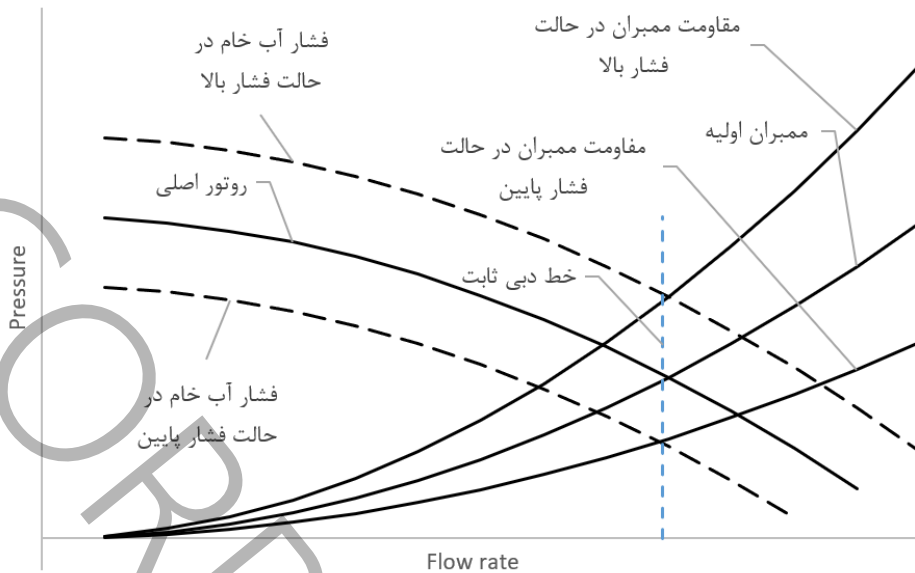
به منظور بررسی تأثیر هیدرولیکی توربوبشارژری، دیاگرام جریان فرآیند پمپ فشار قوی، مembran و توربوبشارژر به صورت شماتیک در شکل ۱ نشان داده شده است. آب خام ابتدا توسط یک پمپ تغذیه وارد بخش پیش تصفیه شده و سپس وارد پمپ فشار قوی می‌شود و فشار آن تا حد میانی افزایش داده می‌شود. بعد از این مرحله توربوبشارژر قرار دارد که جریان خروجی از پمپ فشار قوی وارد بخش پمپ آن می‌شود و فشار آن به مقدار لازم برای ورود به مembran‌های اصلی تصفیه افزایش می‌یابد. سیال خروجی از Membran به دو بخش آب شیرین (آب تصفیه شده) و آب سورپساب (membrane) تقسیم می‌شود. انرژی آب شور با استفاده از بخش سورپساب توربوبشارژر به انرژی

مخصوص، راندمان و مزايا و معایب مورد بررسی قرار داد [۱۲]. چنان فنگ وان و همکارانش روی مدلی از اسمز با فشار تأخیری کار کردند که انتظار می‌رود مقدار قابل توجهی از انرژی مورد نیاز برای یک متر مکعب آب شیرین (انرژی مخصوص) را کاهش دهد. مطالعه آنها نشان می‌دهد ترکیب این روش با روش اسمز معکوس می‌تواند تا یک سوم مصرف انرژی مخصوص را کاهش دهد [۱۳].

تامر السید و امر عبدالفتاح در پژوهش خود به بررسی تعادل عملکردی بین قسمت‌های پمپ و توربین توربوبشارژر، تأثیر تغییر سرعت رotor روی عملکرد توربوبشارژر و تأثیر میزان باز شدنی شیر تقطیم قسمت توربین روی عملکرد توربوبشارژر (سرعت، توان، هد و دبی) پرداختند [۷].

سیگرید آرنا و همکارانش دستگاه‌های بازیافت انرژی را که در جزایر قناری نصب هستند مورد بررسی قرار دادند تا تعیین نمایند کدام یک از آنها برای نصب در واحدهای آب شیرین کن با ظرفیت متوسط و بزرگ در آینده با توجه به شاخص‌های داده‌های عملکرد، تعییر و نگهداری، عیب‌یابی و میزان مصرف انرژی مناسب‌تر هستند [۱۴].

اندريو بوما و همکارانش، انواع شاخص‌های مقایسه برای مصرف انرژی و اکسرژی را در واحدهای آب شیرین کن‌های ترکیبی بررسی کردند و به این جمع بندی رسیدند که روش اسمز معکوس از دیگر روش‌های ترکیبی تا دو برابر بهینه‌تر است. در این مطالعه هزینه مواد اولیه، هزینه مصرف انرژی و ضرایب انتقال انرژی مورد بررسی قرار گرفته است [۱۵].



شکل ۲. منحنیهای هیدرولیکی (هد - دبی) پمپ فشار قوی به همراه توربوشارژر در حالت‌های مختلف مقاومت مدار

Fig. 2. Hydraulic curves (head-flow) of high pressure pump with turbocharger in different pressure modes

روشی که در این مقاله به آن پرداخته شده است آن است که متناسب با تغییر شرایط ممبران و در نتیجه نیاز به تغییر فشار آب خام ورودی به ممبران، فشار کل آب خام به نحوی تغییر داده شود تا آن ثابت بماند. در این روش، تنها فشار تولید شده توسط توربوشارژر با تغییر شرایط طراحی روتور آن به عنوان اصلی ترین قطعه در این تجهیز تغییر داده شده است.

برای این منظور یک واحد در حال بهره برداری مورد مطالعه قرار گرفته است (در جدول ۱ اطلاعات هندسی و در جدول ۲ اطلاعات فرآیندی توربوشارژر مورد استفاده در سایت آب شیرین کن مورد مطالعه آورده شده است). روش کار به این صورت بوده است که با معلوم بودن مشخصات هندسی توربوشارژر موجود و اسکن سه بعدی، مدل کامل اجزای اصلی توربوشارژر بدست آمده است. سپس با توجه به نقطه کاری موجود، دو نقطه کار جدید برای آن در نظر گرفته شده است (به صورت فرضی برای دو حالت بالاتر و پایین‌تر از فشار نقطه کاری موجود). لازم به ذکر است در این تحقیق، برای ایجاد تغییر در فشار مورد نیاز ممبران (که در حالت واقعی ممکن است به خاطر گرفتگی ممبران، تغییر شوری یا دمای آب اتفاق بیفتند)، از یک شیر فشار شکن در مسیر پساب به سمت توربوشارژر استفاده شده است. با مشخص بودن شرایط جدید عملکرد توربوشارژر، ابتدا با استفاده از روابط

مکانیکی برای بخش پمپ آن تبدیل می‌شود و پساب ورودی به توربوشارژر در نهایت به از آن خارج می‌گردد و بدین ترتیب نمودار جریان فرآیند، تکمیل می‌شود.

در این روش، پمپ فشار قوی و بخش پمپ توربوشارژر به صورت سری قرار می‌گیرند و در نتیجه دبی گذرنده از آنها یکسان (دبی آب خام) و فشار کل برابر با مجموع فشارهای تولیدی در هر بخش است. بنابراین منحنی عملکرد این دو تجهیز را می‌توان به صورت یک منحنی فشار کل بر حسب دبی آب خام نشان داد. ممبران بعد از توربوشارژر نیز همانند یک مقاومت هیدرولیکی عمل کرده و منحنی فشار کل (پمپ و توربوشارژر) را در نقطه کاری مدار قطع می‌کند.

همانطور که در شکل ۲ به صورت شماتیک نشان داده شده است اگر مقاومت ممبران به دلیل تغییر شرایط در طول بهره برداری تغییر نماید (به عنوان نمونه به خاطر تغییر دما یا شوری آب خام و یا گرفتگی ممبران)، نقطه تقاطع آن با منحنی فشار کل تغییر می‌کند. از آن جایی که هر نقطه تقاطع، معادل یک فشار و یک دبی برای آب خام است، تغییر فشار آب خام باعث تغییر در دبی آب تولیدی، تغییر در میزان بازیافت انرژی و راندمان کل خواهد شد.



شکل ۳. مراحل انجام شده برای طراحی، شبیه سازی و تست روتورها

Fig. 3. Work flow diagram representing steps of design and validation

هنگام طراحی به اندازه کافی بزرگتر در نظر گرفته می‌شود تا امکان تعییر قطر یا جایگزینی روتور جدید فراهم باشد. در این مقاله حدود تغییرات قطر کمتر از ۲۰ درصد (حداکثر در حدود ۴ میلیمتر بوده است، جداول ۶ و ۷). بنابراین بدون تعییر پوسته امکان جایگزینی روتورهای جدید وجود داشته است.

#### ۴- مسئله مورد مطالعه

برای بررسی میزان تأثیر طراحی روتور در تعییر شرایط کاری، یک واحد متوسط اسمز معکوس با ظرفیت تولید ۱۲۶۰ متر مکعب در شبانه روز (معادل ۱۵۰ متر مکعب در ساعت آب خام) را که در آن از یک پمپ فشار قوی به همراه توربوشارژر استفاده شده است مورد مطالعه قرار دادهایم، مشخصات هندسی توربوشارژر اولیه مطابق با شکل ۴، در جدول ۱ آمده است: مشخصات هیدرولیکی واحد در حال کار که در سایت اندازه‌گیری شده است، در جدول ۲ آمده است:

#### ۴- مبنای محاسبه هد و راندمان

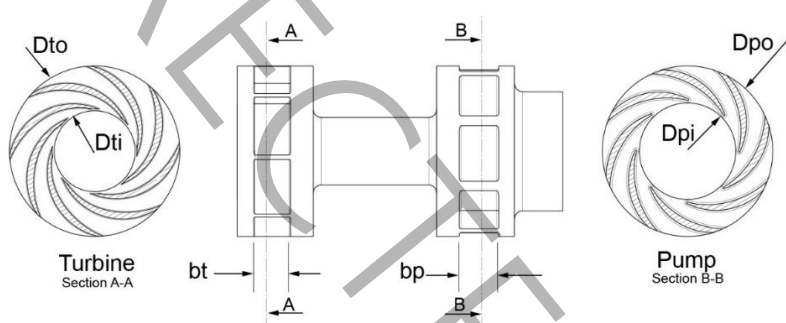
از آنجایی که مبنای محاسبه هد و نیز قوانین تشابه تعییر فشار کل از ورودی تا خروجی پمپ و توربین است، در اندازه گیری‌ها و نیز داده‌های بدست آمده از شبیه سازی، منظور از فشارهای بدست آمده، فشار کل است

تشابه در توربوماشین‌ها، ابعاد پروانه‌های بخش توربین و پمپ توربوشارژر شامل قطر خروجی و عرض خروجی که بیشترین تأثیر را در عملکرد پروانه (دارند)، هندسه روتور جدید برای دو حالت بدست آمده است. از آن جایی که تنها بخش روتور از توربوشارژر تعییر داده خواهد شد، و عملأً روابط تشابه دقیقاً به نقطه کاری جدید منتهی نخواهد شد (به دلیل وجود اصطکاک که به صورت هیدرولیکی از قوانین تشابه تعیین نمی‌کند)، از شبیه سازی میدان جریان در کل بخش پمپ و توربوشارژر (حل عددی میدان جریان) برای بدست آوردن نقطه کاری در روتورهای جدید و فرآیند سعی و خط استفاده شده است. در واقع روابط تشابه در توربوماشین‌ها تنها به عنوان یک راهنمای اولیه حدود تغییرات در قطر و عرض خروجی پروانه‌ها را با توجه به شرایط جدید بدست می‌دهند و برای رسیدن به اندازه‌های دقیق‌تر از شبیه سازی کامل میدان جریان و تعییر اندازه با توجه به نتایج شبیه سازی بهره گرفته شده است. در نهایت با قرار گرفتن حدود خطابه به محدوده کمتر از ۳ درصد (بین نتایج پیش بینی شده با روابط تشابه و حل عددی میدان جریان)، نسبت به ساخت روتور جدید و نصب آن به جای روتور قبلی اقدام شده است. برای صحبت سنجی، نتایج شبیه سازی با داده‌های تست مورد مقایسه قرار گرفته است. مراحل انجام شده به صورت دیاگرام شکل ۳ نشان داده شده است: نکته‌ای که باید به آن توجه داشت این است که معمولاً ابعاد پوسته در

### جدول ۱. مشخصات هندسی روتور توربوروشارژر

Table 1. Geometric characteristics of the turbocharger rotor

مقدار	ابعاد هندسی (mm)
۸۶	قطر خروجی توربین (D <sub>to</sub> )
۴۱	قطر ورودی توربین (D <sub>ti</sub> )
۱۷/۵	عرض خروجی توربین (B <sub>t</sub> )
۸۶	قطر خروجی پمپ (D <sub>po</sub> )
۴۸/۸	قطر ورودی پمپ (D <sub>pi</sub> )
۱۸	عرض خروجی پمپ (B <sub>p</sub> )
۸	تعداد پره (N <sub>b</sub> )
۰/۶	لقی بین محور و بیرینگ میانی (SL)
۳/۵	لقی متوسط بین جداره پروانه و پوسته (SR)
۵۴	طول لقی محور و بیرینگ میانی (L)



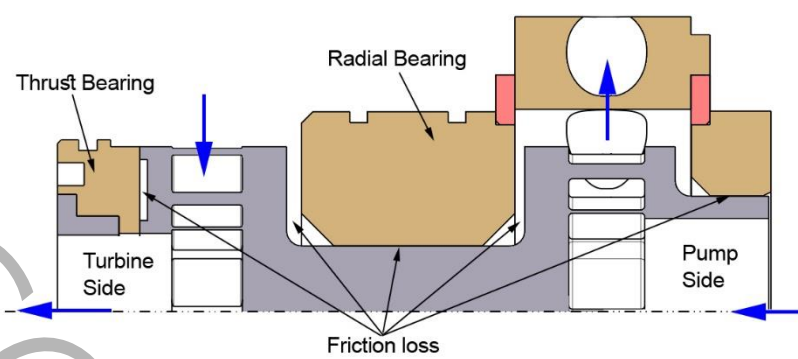
شکل ۴. ابعاد اصلی مؤثر در مشخصات هیدرولیکی روتور توربوروشارژر

Fig. 4. The main effective dimensions in the hydraulic characteristics of the turbocharger rotor

### جدول ۲. مشخصات هیدرولیکی واحد اسمز معکوس

Table 2. Hydraulic characteristics of the reverse osmosis unit

مقدار	واحد	پارامترهای هیدرولیکی واحد
۱۵۰	m <sup>3</sup> /h	جریان ورودی به پمپ (Q <sub>p</sub> )
۴۰	bar	فشار ورودی به بخش پمپ (P <sub>inp</sub> )
۶۵	bar	فشار خروجی از بخش پمپ (P <sub>outp</sub> )
۶۳	bar	فشار ورودی به بخش توربین (P <sub>inT</sub> )
۲	bar	فشار خروجی از بخش توربین (P <sub>out</sub> )
۱۰۰	m <sup>3</sup> /h	دی پساب (Q <sub>R</sub> )
۱۰۳	-	تعداد ممبران
٪۶۰	%	راندمان کل (رابطه ۲)



شکل ۵. لقی های بین بخش ثابت و دوار مؤثر در تلفات اصطکاکی

Fig. 5. Clearances between fixed and rotating parts in calculating frictional losses

درون پوسته قرار می‌گیرد و از بیرون هیچگونه دسترسی به آن وجود ندارد. نمی‌توان با استفاده از دورسنج، سرعت دورانی آن را اندازه‌گرفت و به صورت عملی بدست آوردن دور، تنها از طریق تحلیل فرکانسی و فرکانس گذار پره امکان پذیر است. برای بدست آوردن دور به روش تحلیلی نیز از تساوی توان‌ها کمک گرفته شده است. از آنجایی که سرعت دورانی تابع شرایط دو بخش پمپ و توربین است، برای رسیدن به نقطه کاری، باید میدان جریان در پمپ و توربین در دورهای مختلف شبیه‌سازی و نمودار توان بر حسب دبی هر کدام جداگانه بدست آید و نقطه‌ای که توان‌ها دو بخش با هم برابر باشند، نقطه کاری محاسباتی توربушارژر خواهد بود. البته در این محاسبه، علاوه بر توان در میدان جریان داخل پروانه‌ها، باید تلفات اصطکاکی در جدارهای بیرونی پروانه‌ها، بیرینگ شعاعی نگهدارنده شافت و نیز بیرینگ تراست انتهایی در بخش توربین نیز محاسبه شود. در شکل ۵ بخش‌هایی که باعث اتلاف اصطکاکی می‌شوند نشان داده است. بدین ترتیب دور محاسباتی توربушارژر از تقاطع نمودار توان دو بخش توربین و پمپ توربушارژر بدست می‌آید.

در مرحله بعد مجدداً میدان جریان در هر دو بخش در دور محاسباتی بدست آمده از تلاقی نمودارهای توان (مرحله شبیه‌سازی قبلی)، تحلیل شده است و نتایج با مقادیر بدست آمده متاظر خود مقایسه شده‌اند. این مقایسه برای اطمینان از روند تخمین دور و توان توربушارژر با استفاده از تحلیل میدان جریان است. البته اعتبار سنجی نهایی با تطبیق نتایج بدست آمده از تست صورت گرفته است. همین روند برای روتورهای جدید که نحوه طراحی آنها در بخش ۷ توضیح داده شده است، انجام شده است.

که شامل فشار استاتیکی، فشار دینامیکی و فشار ارتفاعی است که بر اساس رابطه (۱) بدست می‌آید:

$$P = P_{st} + \rho \cdot g \cdot z + \rho \frac{V^2}{2} \quad (1)$$

در این رابطه،  $P_{st}$  فشار استاتیکی (در اندازه‌گیری‌های، برابر با فشاری است که از گیج فشارسنج خوانده می‌شود)،  $z$  ارتفاع مقطع تا سطح مرجع، و  $V$  سرعت متوسط در آن مقطع است که بر اساس مقدار دبی و سطح مقطع بدست می‌آید. برای بدست آوردن دبی از فلومتر الکترومغنتیک با دقت ۱/۰ متر مکعب بر ساعت استفاده شده است.

برای محاسبه راندمان توربушارژر از رابطه زیر استفاده شده است:

$$\eta = \frac{(P_{out\_P} - P_{in\_P})Q_P}{(P_{in\_T} - P_{out\_T})Q_R} \quad (2)$$

تمامی فشارها در رابطه (۲) فشار کل است که از رابطه (۱) بدست می‌آید.

## ۵- محاسبه دور و توان تولیدی توربушارژر

چون پروانه بخش پمپ و توربین در توربушارژر از طریق یک محور به هم متصل هستند، و مولّد بخش پمپ، بخش توربین توربушارژر است، نقطه کاری در عمل شرایطی است که توان مصرفی بخش پمپ با توان تولیدی بخش توربین برابر باشد. با توجه به اینکه هنگام کار، روتور کاملاً

### جدول ۳. شرایط مرزی و تنظیمات حل عددی

Table 3. Boundary conditions and numerical solution settings

پارامترهای تحلیل جریان	مقادیر یا مفروضات
شرایط تحلیل عددی	جریان غیر قابل تراکم، حالت دائم و هم دما
سیال	آب دریا، چگالی: ۹۹۸ کیوگرم بر متر مکعب ویسکوزیته: $0.001 \text{ N.s/m}^2$
مدل توربولانسی	مدل توربولانسی برای حل: انتقال تنش برشی
دامنه حل و روش شبیه سازی	میدان حل دوار، محاسبه نیروی کوربولیس، استفاده از تخمین صفحه میانی
میدان جریان	برای میانیابی مقادیر بین بخش ثابت و دوار
زیری سطح	دیوارهای پروانه: ۵۰ میکرون، دیوارهای ولوت و دیفیوزر ۷۰ میکرون
شرایط مرزی ورودی	مقدار دبی جرمی مشخص
شرایط مرزی خروجی	فشار استاتیکی مشخص
شدت توربولانسی در ورود	حداقل مربعات نوسانات سرعت٪ ۵

#### ۶-۱- شبکه بندی

برای شبکه بندی پروانه‌ها از نرم افزار توربوجرد<sup>۱</sup> و برای شبکه بندی ولوت و دیفیوزر از نرم افزار آی سی ای ام<sup>۲</sup> استفاده شده است تا شبکه متناسب با جریان در توربوماشین‌ها ایجاد گردد. به منظور بررسی استقلال نتایج از شبکه بندی، توان مصرفی و تولیدی در بخش پمپ و توربین بر حسب تعداد شبکه بندی کل در هر دو بخش به صورت جداگانه محاسبه شده است و تعداد شبکه تا جایی که درصد تغییر در مقادیر توان از ۱ درصد کمتر شده بود افزایش داده شده است. در شکل ۷ تعداد شبکه در بخش‌های پمپ و توربین نشان داده شده است. در اطراف جداره‌ها و پره‌ها، اندازه شبکه ریزتر و تعداد شبکه بیشتر شده است تا تغییرات سرعت و فشار دقیق‌تر محاسبه گردد (شکل ۸).

#### ۶-۲- پیش‌بینی سرعت روتور توربушارژر موجود

میدان جریان در بخش توربین به ازای سرعت‌های ۱۵۰۰۰ تا ۱۸۰۰۰ دور بر دقیقه تحلیل شده است. دبی ورودی بخش پمپ همان دبی آب خام و برابر با ۱۵۰ متر مکعب بر ساعت و دبی ورودی توربین، دبی پساب و

4 Turbogrid

5 ICEM

#### ۶- تحلیل شرایط هیدرولیکی توربوشارژر موجود

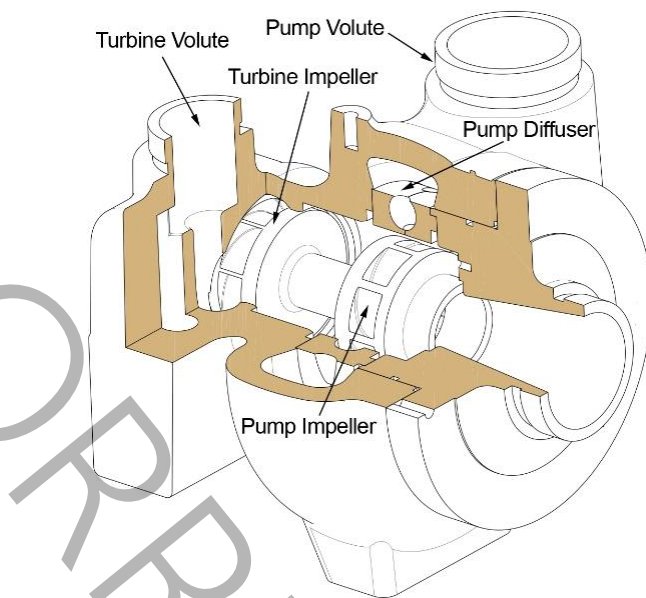
برای بررسی عملکرد توربوشارژر هیدرولیکی موجود با شرایط هیدرولیکی مندرج در جدول ابتدا بخش پمپ و توربین توربوشارژر به صورت سه بعدی مدل و میدان جریان آن برای تحلیل آماده شده است تا روش محاسبه توان و دور توربوشارژر با استفاده از تحلیل میدان جریان با داده‌های توربوشارژر صحت سنجی گردد. معادلات حاکم بر میدان جریان در مختصات دوار شامل معادله پیوستگی، معادله مومنتوم، دو معادله نرخ انرژی جنبشی توربولانس و نرخ اتلاف انرژی توربولانس طبق معادله مدل توربولانسی انتقال تنش برشی<sup>۳</sup> در پیوست آمده است. برای حل عددی میدان جریان از نرم افزار انسیس سی اف ایکس<sup>۴</sup> نسخه ۲۰۲۴ استفاده شده است. در گسسته سازی‌های مشتق مکانی در معادله ناویر-استوکس از تقریب مرتبه دوم استفاده شده است. معیار همگرایی نیز حداقل خطای جذر میانگین مربع‌ها<sup>۵</sup> به میزان  $1e-5$  در نظر گرفته شده است.

مدل سه بعدی میدان جریان در بخش‌های مختلف توربوشارژر که از اسکن سه بعدی تمامی قطعات توربوشارژر موجود بدست آمده است در شکل ۶ نشان داده شده است:

1 Shear Stress Transport

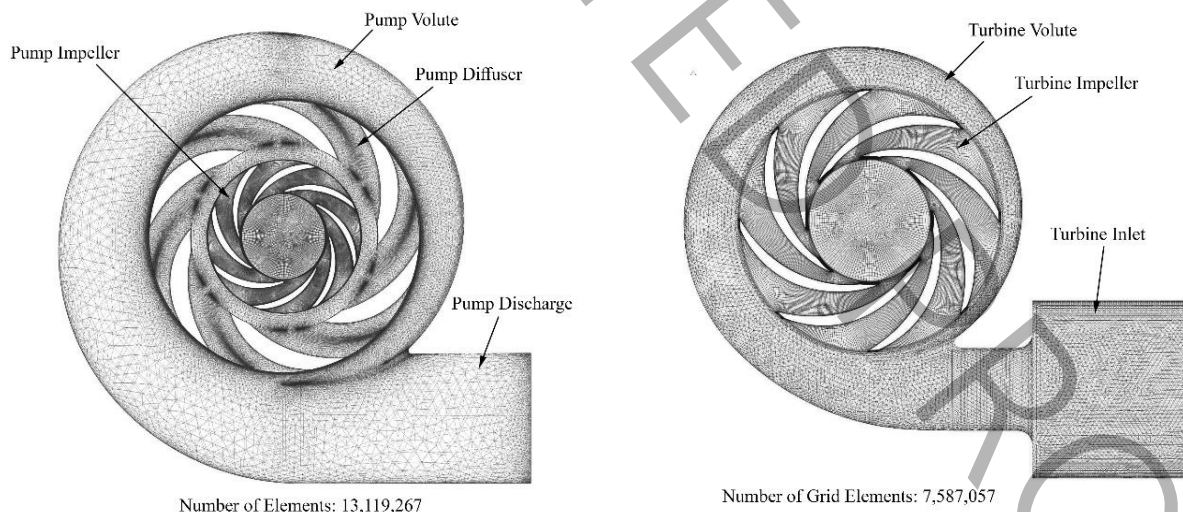
2 ANSYS CFX

3 RMS (Root mean squared)



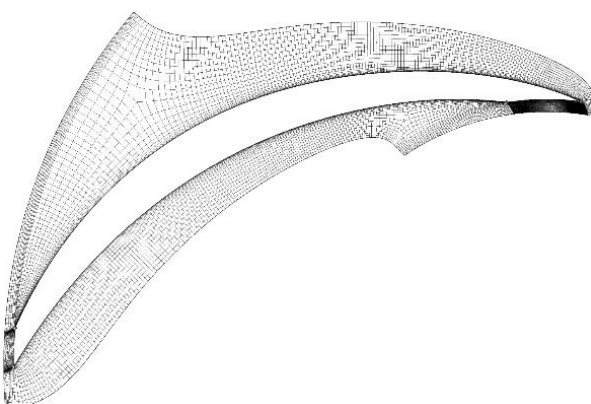
شکل ۶. المان‌های هیدرولیکی در تحلیل توربوشارژر، بخش پمپ (پروانه، دیفیوزر و ولوت)، بخش توربین (پروانه و ولوت)

Fig. 6. Hydraulic elements in the analysis of turbocharger, pump section (impeller, diffuser and volute), turbine section (impeller and volute)



شکل ۷. شبکه‌بندی میدان جریان در بخش پمپ و توربین توربوشارژر

Fig. 7. Grid generation of the flow field of pump and turbine section of the turbocharger



شکل ۸. نحوه شبکه‌بندی میدان جریان اطراف پره در پروانه

Fig. 8. Grid generation and cluster of the meshes near the impeller blade

$$K_{RR} = \frac{\pi R}{2Re.SR} \frac{0.02}{R_e^{0.2}} \frac{1+SR/R}{1+SR/2R} \quad (5)$$

$$K_{RZ} = \frac{2\pi R}{Re.SZ} \frac{0.075}{R_e^{0.2}} \frac{1+SZ/R}{1+SZ/2R} \quad (6)$$

در این روابط،  $R_e$  عدد رینولدز است که از رابطه (۷) بدست می‌آید.  
لئی بین دیواره‌های ثابت و دوار است.

$$Re = \frac{\rho R^2 \omega}{\mu} \quad (7)$$

در رابطه فوق  $\mu$  ویسکوزیته دینامیکی آب است.  
بعد از محاسبه توان هیدرولیکی مصرفی و تولیدی بر در سرعت‌های دورانی مختلف با استفاده از شبیه سازی میدان جریان، سرعت دورانی محاسباتی از تلاقی منحنی این دو توان بدست می‌آید که در شکل ۱۰ نشان داده شده است.

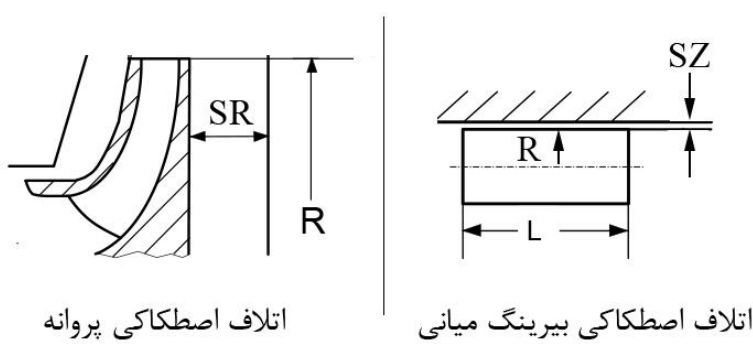
این سرعت برای توربوشارژر موجود، در حدود ۱۶۵۷۰ دور بر دقیقه و توان معادل شافت ۱۲۷ کیلو وات بدست آمده است. برای بررسی میزان

برابر با ۱۰۰ متر مکعب در ساعت است. شرایط حل عددی مطابق جدول ۳ اعمال شد. برای محاسبه توان منتقل شده از توربین به پمپ، توان اتلافات اصطکاکی<sup>۱</sup> بین محور و بیرینگ میانی و بین جداره‌های پروانه پمپ و توربین با دیواره‌های بیرونی (شکل ۹) از توان تولیدی توربین کم شده است.  
برای محاسبه توان اتلاف اصطکاکی بین پروانه‌های پمپ و توربین با جداره‌های بیرونی و نیز بین محور و بیرینگ محوری به ترتیب از رابطه‌های (۳) و (۴) استفاده شده است [۱۷]:

$$P_{RR} = K_{RR} \rho \omega^3 R^5 \quad (3)$$

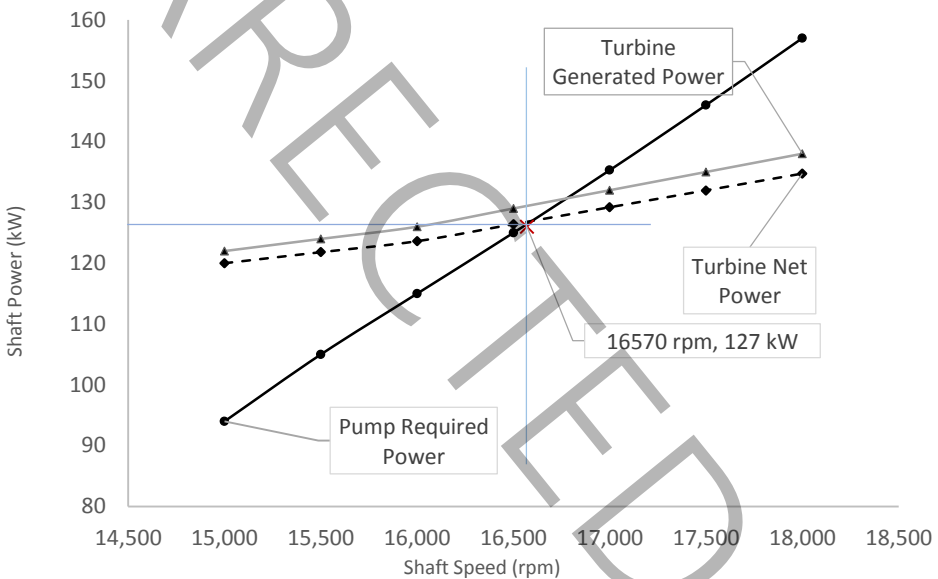
$$P_{RZ} = K_{RZ} \rho \omega^3 R^4 L \quad (4)$$

که در آن  $K_{RR}$  ضریب اصطکاک شعاعی،  $K_{RZ}$  ضریب اصطکاک محوری،  $\rho$  چگالی،  $\omega$  سرعت دورانی،  $R$  شعاع دوران در هر حالت است و  $L$  طول ناحیه درگیری محور با بیرینگ میانی است.  $SR$  و  $ZR$  لئی شعاعی و محوری پروانه و محور روتور است (شکل ۱۰).  
ضرایب اصطکاکی در دو حالت از روابط (۵) و (۶) بدست آمده است



شکل ۹. پارامترهای هندسی مؤثر در محاسبه اتلاف اصطکاکی

Fig. 9. Geometrical parameters in friction loss calculation



شکل ۱۰. نتایج شبیه سازی میدان جریان در توربین به ازای سرعتهای دورانی مختلف و تخمین توان و دور توربوشارژر موجود

Fig. 10. The CFD results of the flow field in the turbine and pump section for different rotational speeds

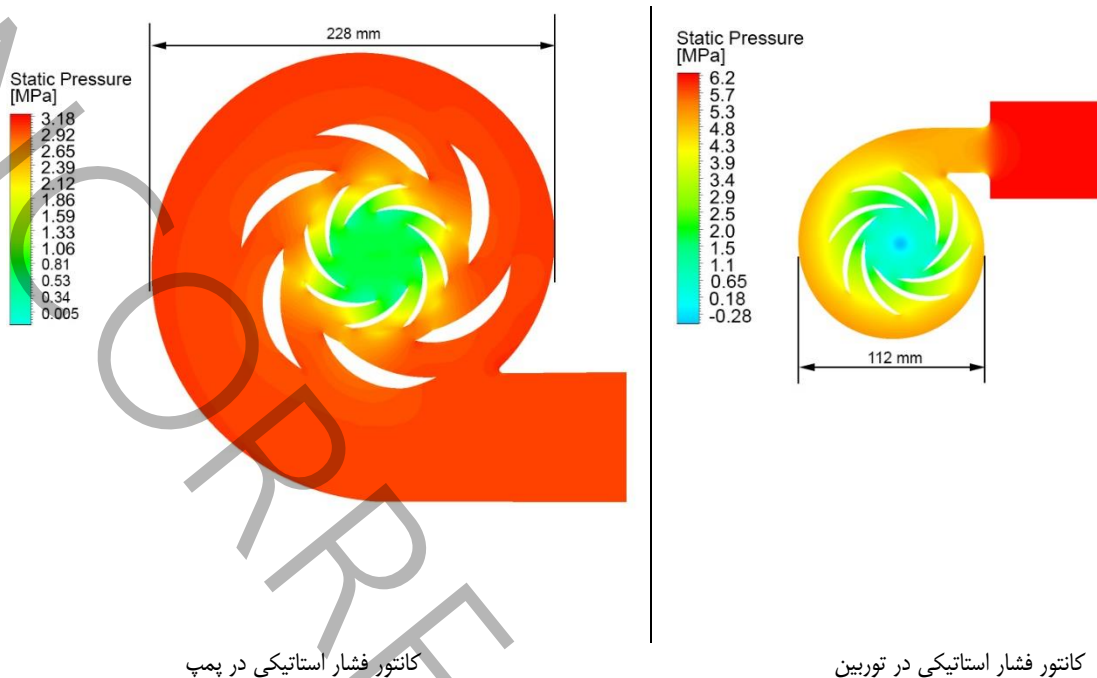
مگاپاسکال) است و همین متغیر در توربین از مقطع ورودی تا خروجی حدود ۶۰ بار (۶ مگاپاسکال) تغییر می‌کند. در جدول ۴ سایر پارامترهای هیدرولیکی برای این سرعت دورانی آمده است و خطای نسبی مقادیر بدست آمده از تحلیل جریان با مقادیر اندازه گیری شده در سایت نشان داده شده است.

در جدول ۴، تغییر فشار کل بر اساس اختلاف فشار کل به صورت متوسط سطحی<sup>۱</sup>، و بر اساس رابطه (۸) در دو مقطع ورودی و خروجی بدست

۱ Area Average

صحت توان و سایر پارامترهای هیدرولیکی بدست آمده از این روش، بار دیگر در این سرعت و با همان دبی‌های قبلی شبیه سازی انجام شده است. در شکل ۱۱ کانتور فشار استاتیکی در پمپ و توربین برای این نقطه کاری در یک مقطع موازی با صفحه پروانه‌ها نشان داده شده است.

همانطور که در کانتورهای فوق که در یک سطح مقطع عمود بر محور روتور نشان داده شده است، حدود تغییرات فشار استاتیکی در پمپ حداقل ۲۵ بار (۳ مگاپاسکال) و به طور متوسط در مقطع خروجی ۲۵ بار (۳۰



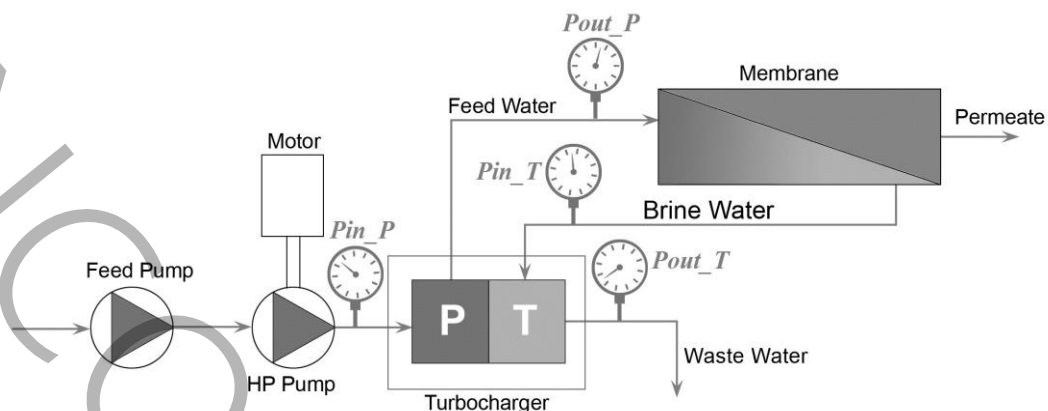
شکل ۱۱. کانتور فشار استاتیکی در دو بخش پمپ و توربین توربوشاپرژر

Fig. 11. Static pressure contour in pump and turbine section

جدول ۴. پارامترهای هیدرولیکی پمپ و توربین با روتور اصلی در سرعت ۱۶۷۵۰ دور بر دقیقه

Table 4. Hydraulic parameters of the pump and turbine with the original rotor at a speed of 16750 rpm

پارامترهای هیدرولیکی پمپ	واحد	اندازه‌گیری	تحلیل جریان	خطا (%)
تغییر فشار کل بخش پمپ	bar	۲۵	۲۵/۷	۲/۸
توان خالص شافت	kW	۱۲۷	۱۲۶/۲	۰/۶
راندمان ( $\eta_p$ )	%	۸۰/۰	۸۳/۰	۰/۲
پارامترهای هیدرولیکی توربین				
تغییر فشار کل بخش توربین	bar	۶۲	۶۲/۳	۰/۴
توان خالص شافت	kW	۱۳۱	۱۲۶/۵	۰/۷
راندمان ( $\eta_t$ )	%	۷۷/۶	۷۶/۹	۰/۸



شکل ۱۲. موقعیت نصب فشار سنج در ورودی و خروجی‌های توربوشارژر

Fig. 12. Installation position of the pressure gauges at the inlet and outlet section of the turbocharger

$$Eff_P = \frac{(P_{out\_P} - P_{in\_P})Q_P}{Power\_P} \quad (10)$$

$$Eff_T = \frac{Power\_T}{(P_{in\_T} - (P_{out\_T})Q_R)} \quad (11)$$

$$Eff = Eff_T \times Eff_P \quad (12)$$

که در این روابط، اندیس‌های in و Out به ترتیب مقاطع ورودی و خروجی و  $Eff$ ،  $Eff_T$  و  $Eff_P$  به ترتیب راندمان بخش پمپ، بخش توربین و کل توربوشارژر است.

در شکل ۱۲ موقعیت اندازه‌گیری فشارها در مقاطع ورودی و خروجی توربوشارژر به صورت شماتیک نشان داده است. همانطور که در جدول ۴ آمده است، خطای مقادیر اندازه‌گیری شده با مقادیر بدست آمده از تحلیل دینامیک سیالات محاسباتی حداقل ۲/۸ درصد است که نشان می‌دهد از این روش می‌توان برای طراحی روتورهای جدید که در بخش بعدی آمده است استفاده کرد.

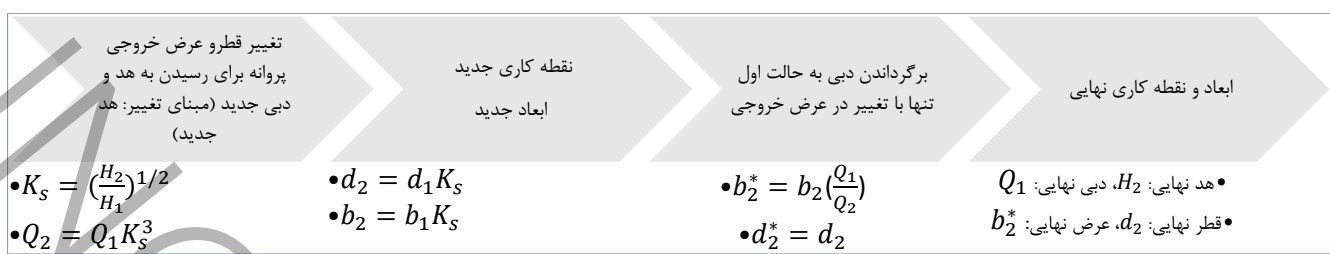
آمده است.

$$P_{avg} = \frac{1}{A} \int_A P dA \quad (8)$$

که در آن  $P_{avg}$  فشار متوسط در یک سطح است. برای محاسبه توان، جمع جبری ضرب داخلی نیرو در سرعت در تمامی المان‌های روی جداره پروانه‌های پمپ و توربین بدست آمده است که در رابطه (۹) به صورت کلی نشان داده شده است:

$$Power = \sum_{Impeller Walls} (F_x u + F_y v + F_z w) \quad (9)$$

که در این رابطه نیرو در هر سطح، از حاصل ضرب تنش برشی و نرمال در سطح سلول روی جداره در سه راستای مختلف محاسبه شده است.  $u$ ،  $v$  و  $w$  نیز سرعت‌ها در سه راستای  $x$ ،  $y$  و  $z$  روی هر المان سطحی در جداره پروانه‌ها هستند. برای محاسبه راندمان بخش پمپ و توربین و راندمان کل به ترتیب از روابط (۱۰)، (۱۱) و (۱۲) استفاده شده است:



شکل ۱۳. روند اعمال تغییرات و نقاط کاری متناظر در روتورهای جدید

Fig. 13. The process of applying changes and corresponding working points in new rotor

کامل (در سه بعد) و در یک بعد (تغییر عرض خروجی پروانه برای تغییر دبی به حالت قبلی) آمده است:

تغییر اندازه در سه راستا په اندازه ضریب  $K_s$  و تغییر نقطه کاری متناظر:

$$K_s = \left( \frac{\Delta P_2}{\Delta P_1} \right)^{\frac{1}{2}}, \quad Q_2 = Q_1 K_s^3, \\ d_2 = d_1 K_s, \quad b_2 = b_1 K_s \quad (13)$$

تغییر مجدد عرض خروجی پروانه (تغییر اندازه در یک راستا) برای رسیدن به دبی قبل از تغییر ابعاد (بدینه ای است در این مرحله قطر روتور ثابت نگه داشته شده است):

$$b_2^* = b_2 \left( \frac{Q_1}{Q_2} \right), \quad d_2^* = d_2 \quad (14)$$

ابعاد پروانه‌ها برای دو نقطه کاری جدید مطابق با روابط فوق بدست آمده‌اند. حالت اول برای وضعیتی است که فرض شده است ممبران دچار رسوب و گرفتگی شده باشد و برای بدست آمدن درصد تولید مشابه قبل از گرفتگی، باید فشار آب خام ورودی به ممبران افزایش یابد اما دبی ورودی تغییری نداشته باشد. حالت دوم برای وضعیتی است که ممبران‌ها کاملاً نو و بدون گرفتگی باشند و شوری آب هم به دلیل تغییر دما کاهش پیدا کرده باشد. در این حالت، فشار لازم برای آب خام ورودی جهت رسیدن به درصد

#### ۷- اعمال تغییرات در ابعاد روتور و شبیه سازی جریان در روتورهای جدید

برای تغییر ابعاد روتور به منظور رسیدن به نقاط کاری جدید، از قوانین تشابه در توربوماشین‌ها استفاده شده است. در این تحقیق اولویت رسیدن به هد و دبی جدید توربушارژر است و افت راندمان اگر در محدوده قابل قبول باشد (کمتر از ۵ درصد)، اهمیت کمتری دارد. دلیل افت راندمان این است که در اینجا بجز روتور، سایر المان‌های هیدرولیکی مانند دیفیوزر و ولوت‌ها بدون تغییر باقی می‌مانند (پوسته تغییری نمی‌کند)، در نتیجه تشابه هیدرولیکی به صورت کامل صورت نمی‌گیرد و به همین دلیل ممکن است برخی پارامترهای دیگر از جمله راندمان در محدوده بهینه مانند روتور اصلی قرار نگیرد. (محدوده بهینه راندمان در نقطه کاری متناظر ممکن است با راندمان روتور اولیه تفاوت چندانی نداشته باشد اما راندمان در نقطه کاری جدید که لزوماً با نقطه تشابه یکسان نیست ممکن است کمتر یا حتی بیشتر باشد). نکته دیگر این است که باید دبی‌ها بدون تغییر بمانند تا بازیافت تولید ثابت باقی بماند. برای این منظور ابتدا پروانه‌های پمپ و توربین در هر سه بعد به یک اندازه تغییر داده شده‌اند، که در نتیجه آن دبی متناظر نیز تغییر پیدا کرده است. برای ثابت نگهداشتن دبی، مجددًا عرض خروجی پروانه‌ها تغییر داده شد تا دبی به حالت اولیه برگردد، اما هد متناظر در حالت دوم تغییر نکند. به دلیل اینکه پروفیل پره‌ها دو بعدی است، این هد تنها با تغییر در عرض خروجی پروانه‌ها امکان پذیر است که باعث تغییر سطح خروجی پروانه به همان نسبت خواهد شد و چون قطر ثابت نگهداشته می‌شود، دبی متناظر تقریباً با همین نسبت تغییر می‌کند [۱۷].

روند اعمال تغییرات و نقاط کاری متناظر در نمودار شکل ۱۳ آمده است: در روابط زیر، قوانین تشابه برای تغییر سایز روتور در دو حالت تشابه

### جدول ۵. شرایط هیدرولیکی برای روتور اصلی و دو روتور جدید

Table 5. Hydraulic conditions for the original and two new rotors

پارامترهای هیدرولیکی	واحد	روتور تغییر یافته ۲	روتور تغییر یافته ۱	روتور اصلی
فشار کل ورودی به ممبران	bar	۶۰	۶۸	۶۳
فشار کل خروجی از ممبران	bar	۵۸	۶۶	۶۳
تغییر فشار کل بخش پمپ	bar	۲۰	۲۸	۲۵
تغییر فشار کل بخش توربین	bar	۵۷	۶۵	۶۲
دبی آب خام (دبی بخش پمپ)	$m^3/h$	۱۵۰	۱۵۰	۱۵۰
دبی پساب (دبی بخش توربین)	$m^3/h$	۱۰۰	۱۰۰	۱۰۰

همان طور که ملاحظه می‌شود، در شکل ۱۶ شرایط فشاری در خروج از توربушارژر به دلیل ثابت نگاشته شدن فشار چندان تغییری نکرده است، اما فشار استاتیکی کل در ورودی به توربین (نازل ورودی که کانتور فشار آن به رنگ قرمز است) برای دو حالت مختلف فشار بالا و پایین (روتورهای جدید) نزدیک به ۱۰ بار تغییر پیدا کرده است.

### ۹- تست روتورهای جدید

برای تست توربушارژر، از چیدمان تجهیزات موجود در سایت استفاده شده است (شکل ۱۶). پمپ فشار قوی تنظیمه کننده توربушارژر دارای اینورتر بوده است تا با استفاده از آن بتوان شرایط جدید را تنظیم نمود. برای اندازه‌گیری فشار در ورودی و خروجی‌های توربушارژر از فشارسنج استفاده شده است. برای اندازه‌گیری دبی در خط آب تولیدی و پساب از فلومتر مغناطیسی استفاده شده است تا دبی (و در نتیجه سرعت متوسط در هر مقطع) اندازه‌گیری شود. مشخصات تجهیزات اندازه‌گیری در جدول ۱۰ آمده است.

برای بدست آوردن فشار در ورودی و خروجی‌های توربушارژر بهتر است فشار سنجها بالاً فاصله بعد از فلتچ اتصال نصب شوند. اما به صورت عملی در مواردی امکان پذیر نیست. در اینجا نیز چون هدف مقایسه عملکرد روتورهای جدید با روتور اصلی است، برای هر سه حالت موقعیت نصب فشارسنجها (که در شکل ۱۳ به طور شماتیک نشان داده شده است)، یکسان در نظر گرفته شده است.

تولید مشابه کاهش پیدا می‌کند. شرایط هیدرولیکی این دو وضعیت فرضی در جدول ۵ آمده است.

مطابق با قوانین تشابه در روابط (۱۳) و (۱۴) و شرایط هیدرولیکی فوق برای روتورهای جدید (روتور ۱ - فشار بالا و ۲ - فشار پایین)، قطر و عرض خروجی پروانه‌ها با استفاده از ضریب تشابه بدست آمده‌اند که در جداول ۶ و ۷ نشان داده شده است.

### ۸- تحلیل میدان جریان در روتورهای جدید

میدان جریان برای دو حالت جدید مشابه با شرایط روتور اصلی تحلیل و داده‌های بدست آمده در نمودارهای شکل ۱۴ و ۱۵ نشان داده شده است. برای بدست آوردن نقطه کاری (دور روتور، هد و توان‌های جدید) از تقاطع نمودار توان بر حسب دور استفاده شده است. مقادیر دبی پمپ و توربین همان مقادیر قبلی در نظر گرفته شده است. با هندسه جدید روتورها، توان بر حسب دورهای مختلف محاسبه شده‌اند. نقطه کاری جدید در دو حالت با تقاطع منحنی‌های توان پمپ و توربین بر حسب دور بدست آمده است.

برای بررسی میزان صحبت توان و سایر پارامترهای هیدرولیکی بدست آمده از این روش، بار دیگر در این دو سرعت بدست آمده، میدان جریان در توربین و پمپ برای روتورهای جدید تحلیل شده‌اند که در شکل ۱۶ کانتور فشار استاتیکی در توربین برای روتورهای جدید و در جدول ۸ و ۹ مقادیر اختلاف فشار، توان تولیدی و مصرفی و راندمان و اختلاف آن با مقادیر بدست آمده از دو نمودار فوق آمده است.

جدول ۶. حالت اول: روتور ۱ - حالت فشار بالا، فشار کل ورودی به ممبران ۶۸ بار (تغییر فشار پمپ توربوشارژر: ۲۸ بار، تغییر فشار توربین ۶۵ بار)

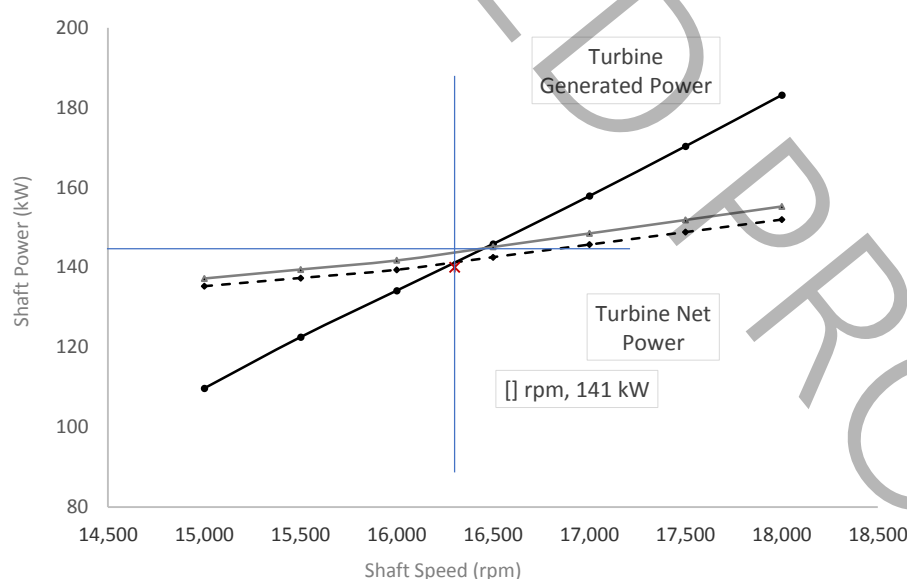
**Table 6. First mode: rotor 1 - high pressure mode, total pressure entering the membrane 68 bar (turbocharger pump pressure change: 28 bar, turbine pressure change 65 bar)**

متغیرهای مربوط به پمپ	متغیرهای مربوط به توربین	واحد	متغیرهای معادله (۷) و (۸)
۱/۰۵۸۳	۱/۰۲۴	--	$K_s$
۱۷۷/۸	۱۰۷/۳	$m^3/h$	$Q_2$
۹۱	۸۸	mm	$d_2$
۱۹/۰۴	۱۷/۹۲	mm	$b_2$
۱۶	۱۶/۷	mm	$b_2^*$

جدول ۷. حالت دوم: روتور ۲ - حالت فشار پایین، فشار کل ورودی به ممبران ۶۰ بار (تغییر فشار پمپ توربوشارژر: ۲۰ بار، تغییر فشار توربین ۵۷ بار)

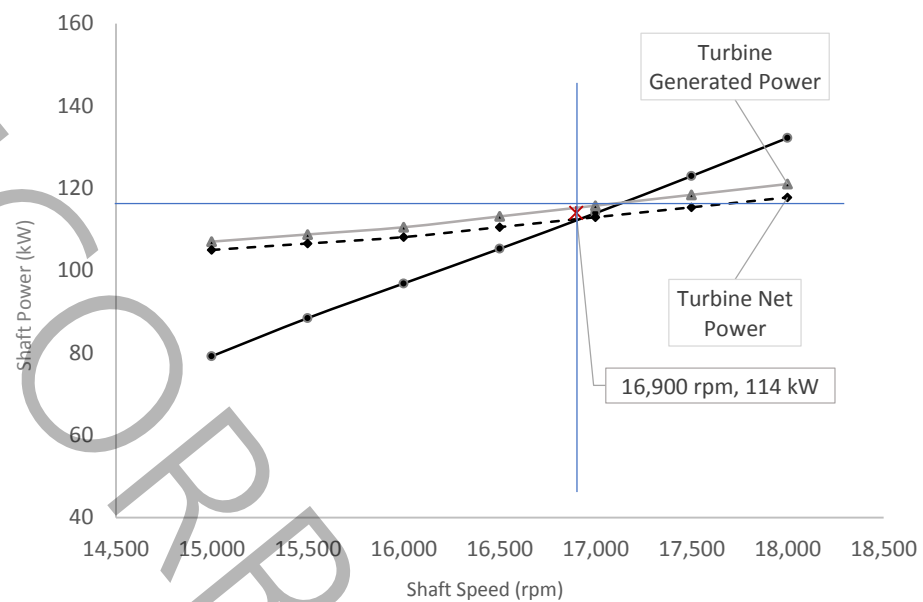
**Table 7. Second mode: Rotor 2 - low pressure mode, the total inlet pressure to the membrane is 60 bar (turbocharger pump pressure change: 20 bar, turbine pressure change 57 bar)**

متغیرهای مربوط به پمپ	متغیرهای مربوط به توربین	واحد	متغیرهای معادله (۷) و (۸)
۰/۱۸۹۴	۰/۹۵۸	--	$K_s$
۱۰۷/۳	۸۸/۱۵	$m^3/h$	$Q_2$
۷۶/۹	۸۲/۴	mm	$d_2$
۱۶/۰۱	۱۶/۷۷	mm	$b_2$
۲۲/۵	۱۹	mm	$b_2^*$



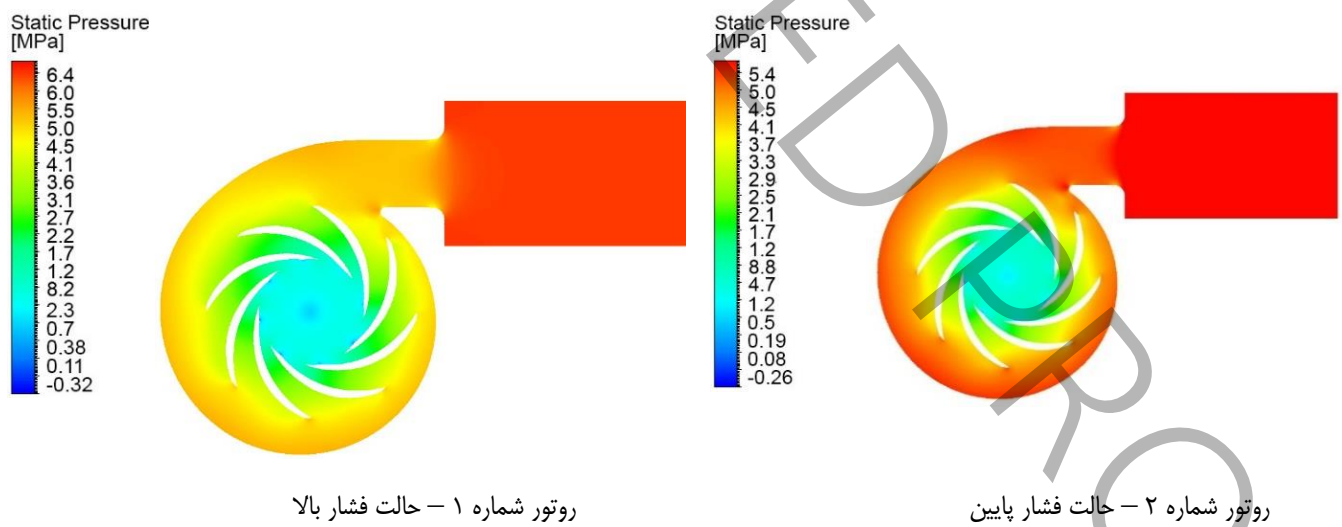
شکل ۱۴. منحنی توان بر حسب دور برای توربوشارژر با روتور جدید (حالت ۱ - فشار بالا)

**Fig. 14. Power in terms of rotational speed for turbocharger with new rotor (mode 1)**



شکل ۱۵. منحنی توان بر حسب دور بردی توربوشارژر با روتور جدید (حالت ۲)

Fig. 15. Power in terms of rotational speed for turbocharger with new rotor (mode 2)



شکل ۱۶. کانتور فشار استاتیکی در بخش توربین مربوط به روتورهای جدید

Fig. 16. Static pressure contour in the turbine section of the new rotors

جدول ۸. حالت دوم: پارامترهای هیدرولیکی پمپ و توربین برای روتور شماره ۱ در سرعت ۱۶۳۰۰ دور بر دقیقه

Table 8. Pump and turbine hydraulic parameters for rotor number 1 at speed of 16300 rpm

پارامترهای هیدرولیکی					
نحوه	نتایج تحلیل جریان	روابط تشابه	واحد	تغییر فشار کل	تغییر فشار کل
۲/۱	۲۷/۴	۲۸	bar	توان خالص شافت	تغییر فشار کل
۰/۳	۱۴۰/۵	۱۴۱	kW	راندمان ( $\eta_p$ )	راندمان ( $\eta_T$ )
۰/۵	۷۹/۶	۸۱/۰	%	پارامترهای هیدرولیکی	پارامترهای هیدرولیکی
خطا (%)	نتایج تحلیل جریان	از روابط تشابه			
۰/۴	۶۵/۳	۶۵	bar	تغییر فشار کل	تغییر فشار کل
۰/۷	۱۴۰/۰	۱۴۱	kW	توان خالص شافت	توان خالص شافت
۱/۲	۷۸/۷	۷۹/۷	%	راندمان ( $\eta_T$ )	راندمان ( $\eta_T$ )

جدول ۹. پارامترهای هیدرولیکی پمپ و توربین برای روتور شماره ۲ در سرعت ۱۶۹۰۰ دور بر دقیقه

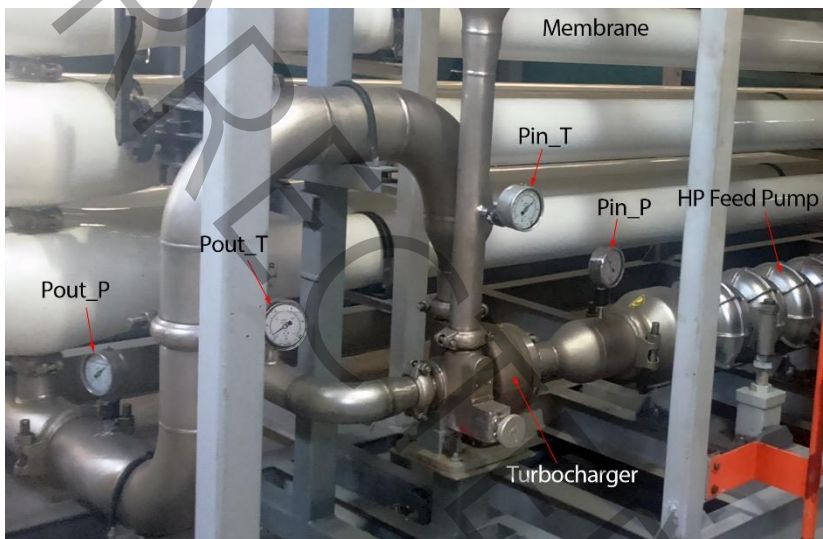
Table 9. Pump and turbine hydraulic parameters for rotor number 2 at a speed of 16900 rpm

پارامترهای هیدرولیکی					
نحوه	نتایج تحلیل جریان	روابط تشابه	واحد	تغییر فشار کل	تغییر فشار کل
۳/۰	۲۰/۶	۲۸	bar	توان خالص شافت	تغییر فشار کل
۰/۶	۱۱۴/۷	۱۴۱	kW	راندمان ( $\eta_p$ )	راندمان ( $\eta_T$ )
۲/۳	۷۳/۳	۸۱/۰	%	پارامترهای هیدرولیکی	پارامترهای هیدرولیکی
خطا (%)	نتایج تحلیل جریان	از روابط تشابه			
۱/۰	۵۷/۶	۵۷	bar	تغییر فشار کل	تغییر فشار کل
۰/۴	۱۱۴/۵	۱۱۴	kW	توان خالص شافت	توان خالص شافت
۰/۵	۷۳/۰	۷۳/۴	%	راندمان ( $\eta_T$ )	راندمان ( $\eta_T$ )

### جدول ۱۰. مشخصات تجهیزات اندازه‌گیری

Table 10. Specifications of measuring equipment

تجهیز اندازه‌گیری	واحد	دقت اندازه‌گیری	محدوده اندازه‌گیری
فشار سنجها در مقطع ورودی و خروجی پمپ توربوشارژر	bar	۰/۲	۱ تا ۸۰
فشار سنج در مقطع ورودی توربین توربوشارژر	bar	۰/۲	۱ تا ۸۰
فشار سنج در مقطع خروجی توربین توربوشارژر	bar	۰/۱	۰ تا ۵
فلومتر نصب شده خط آب تولیدی از نوع الگترومگنت	$\text{m}^3/\text{h}$	۱	۲۰۰ تا ۲۰



شکل ۱۷. چیدمان تست توربوشارژر مطابق با شکل شماتیک شماره ۱۲

Fig. 17.Turbocharger test setup according to PFD shown in Fig. 12.

### ۱-۹- نتایج تست

در فرآیند تست برای تنظیم مقدار دبی آب خام و دبی آب تولیدی، مطابق با مقادیری که در تحلیل هیدرولیکی استفاده شده‌اند از تنظیم دور پمپ فشار قوی قبل از توربوشارژر و نیز شیر خروجی آب پساب استفاده شده است. در جدول ۱۰ نتایج بدست آمده از تست، با داده‌های بدست آمده از شبیه‌سازی برای اعتبارسنجی نتایج طراحی روتورهای جدید آمده است. برای بدست آوردن راندمان کل توربوشارژر از رابطه (۱۰) استفاده شده است. انرژی بر واحد زمان (توان) تولید شده توسط توربوشارژر همان توان هیدرولیکی پمپ

به دلیل اینکه روتور توربوشارژر داخل پوسته قرار دارد و از بیرون قابل رویت نیست، برای بدست آوردن دور روتور از آنالیز ارتعاشات و تحلیل تبدیل فوریه سریع<sup>۱</sup> استفاده شده است. برای این منظور سنسورهایی در سه راستا برای دریافت سیگنال‌های ارتعاشات در دو طرف پوسته توربوشارژر نصب شده‌اند. با توجه به حدود سرعت دورانی روتور، محدوده فرکانسی تا  $350/000 \text{ cpm}$  هرتز در نظر گرفته شده است.

۱ FFT (Fast Fourier Transform)

### جدول ۱۱. نتایج داده‌های تست در برای سه روتور اصلی، فشار بالا و فشار پایین

Table 11. The results of the test data for three main rotors, high pressure and low pressure

روتور	از پمپ	فشار خروجی	به توربین	Eff (%)	fA (cpm)	fB (cpm)	fC (cpm)	توان ورودی به پمپ فشار قوی	توان تولیدی توربушارژر	ER (%)
روتور اصلی	۶۵	۶۳	۶۰۴	۳۱۲۴	۱۹۶۲۰	۱۳۱۹۶	۲۰۵/۵	۱۰۲/۲	۳۰/۲	
روتور شماره ۱	۶۸	۶۶	۶۴۶	۳۱۲۲	۱۹۴۳۰	۱۳۰۴۶	۲۰۵/۵	۱۱۴/۴	۳۲/۳	
روتور شماره ۲	۶۰	۵۸	۵۸/۸	۳۱۲۷	۲۰۰۴۴	۱۳۵۳۳	۲۰۵/۵	۸۱/۷	۲۶/۳	

راندمان پمپ فشار قوی را می‌توان بر اساس تعریف راندمان پمپ به صورت رابطه (۱۷) تعریف کرد:

$$Eff_{HP} = \left( P_{out_{HP}} - P_{in_{HP}} \right) \cdot \frac{Q_p}{HPIP} = \Delta P_{HP} \cdot \frac{Q_p}{HPIP} \quad (17)$$

که در آن  $P_{out_{HP}}$  و  $P_{in_{HP}}$  به ترتیب فشارهای کل در مقطع خروجی و ورودی پمپ فشار قوی می‌باشد. با جایگزینی روابط (۱۵) و (۱۷) در رابطه (۱۶)، رابطه (۱۸) برای میزان بازیافت انرژی بدست می‌آید:

$$ER(\%) = \frac{1}{HPIP} \frac{\Delta P_{turbo} Q_p}{1 + \frac{\Delta P_{turbo}}{\Delta P_{HP}}} \cdot 100 \quad (18)$$

لازم به ذکر است در شرایط تست، فشار ورودی به پمپ فشار قوی، فشار خروجی از پمپ فشار قوی، فشار پساب و دبی آب خام به ترتیب ۳ بار، ۴۰ بار، ۲ بار و ۱۵۰ متر مکعب بر ساعت در همه حالتها ثابت نگهداشته شده است. فرکانس ۱۱ در جدول ۱۱، فرکانس‌های نقاط پیک در تحلیل ارتعاشی است که اولی دور پمپ فشار قوی، دومی دور توربوشارژر و سومی نیز فرکانس گذار پره است که با توجه به تعداد ۸ پره در پروانه پمپ و توربین، تقریباً ۸ برابر دور روتور توربوشارژر است.

توربوشارژر است که از رابطه

$$W_{Turbo} = (P_{out_p} - P_{in_p}) Q_p = \Delta P_{Turbo} \cdot Q_p \quad (15)$$

بدست می‌آید.

مقدار بازیافت انرژی نیز بر اساس تعریف برابر با انرژی بازیافت شده توسط توربوشارژر به انرژی ورودی پمپ فشار قوی است در حالی که توربوشارژر وجود نداشته باشد و فشار خروجی پمپ برابر با فشار خروجی توربوشارژر باشد. برای محاسبه این انرژی کافی است فرض کنیم در صورت نبود توربوشارژر، پمپ فشار قوی با همان راندمان چه مقدار انرژی لازم داشت تا فشار آب خام را به فشار نهایی بعد از توربوشارژر برساند. بر این اساس می‌توان درصد بازیافت انرژی را به صورت زیر تعریف کرد:

$$ER(\%) = \frac{W_{Turbo}}{W_{Turbo} + HPIP} \times 100 \quad (16)$$

که در آن  $HPIP$  توان ورودی به پمپ فشار قوی (با وجود توربوشارژر) و  $Eff_{HP}$  راندمان پمپ فشار قوی است. لازم به ذکر است توان ورودی پمپ فشار قوی از آمپر مصروفی و ولتاژ بدست آمده در تست و اطلاعات موتور الکتریکی بدست می‌آید.

## ۹-۲- تحلیل نتایج

(۳) استفاده از روتور یدکی مقرون به صرفه‌تر از تعویض توربوشارژر یا

استفاده از موتورهای کمکی است که در مقدمه توضیح داده شده است. هزینه تمام شده روتور توربوشارژر نسبت به یک توربوشارژر کامل حدود ۲۰ تا ۲۵ درصد است، ضمن اینکه زمان ساخت، و هزینه نصب و راه اندازی نیز به همین نسبت پایین‌تر خواهد آمد. این هزینه‌ها حتی با در نظر گرفتن کاهش راندمان در حالتی که از روتور ۲ استفاده شود، مقرون به صرفه‌تر از جایگزینی توربوشارژر کامل خواهد بود.

(۴) معمولاً روتور یدکی به همراه توربوشارژر خرید می‌شود که بهتر است با توجه به شرایط طراحی، تغییرات فصلی، فرسودگی ممبران‌ها و تغییرات در شوری آب خام، که باعث تغییر در نقطه کاری می‌شوند، در همان ابتدا پیش‌بینی شده و روتورهای مناسب طراحی و به عنوان یدک برای این شرایط رزو گردند.

(۵) طول عمر هر کدام از روتورها به دلیل آنکه برای مدت کمتری از طول سال در مدار است (اگر تغییرات هیدرولیکی به خاطر شرایط فصلی باشد)، بیش‌تر خواهد شد.

(۶) در این مقاله هدف اصلی مقایسه سه حالت مختلف با یدکیگر و استفاده از یک معیار و یک نوع داده برای محاسبه مقدار انرژی بازیافتی توسط توربوشارژر بوده است و نصب تجهیزات اندازه‌گیری در موقعیت‌های مشابه در هر سه حالت این امکان را برای مقایسه داده‌ها میسر نموده است.

## ۹-۳- جمع‌بندی

با توجه به نتایج بدست آمده از روابط تشابه هیدرولیکی، تحلیل میدان جریان و داده‌های تست می‌توان به این جمع‌بندی رسید که برای باز طراحی روتور توربوشارژر هیدرولیکی می‌توان از جایگزینی روتور جدید با روتور موجود برای رسیدن به نقطه کاری جدید کمک گرفت. این روش در برخی موارد (وقتی به فشار بالا نیاز است حتی به راندمان بالاتر نیز منجر می‌شود). این روش علاوه بر صرفه اقتصادی، باعث طول عمر بیشتر توربوشارژر (به دلیل استفاده از دو یا سه روتور در طول سال) می‌گردد.

(۱) می‌توان از قوانین تشابه برای بدست آوردن روتور جدید استفاده کرد. نتایج بدست آمده نشان می‌دهد پارامترهای طراحی که از روش‌های تشابه بدست آمده‌اند با اختلاف قابل قبولی هم با نتایج شبیه‌سازی میدان جریان و هم با نتایج تست تجربی هم‌خوانی دارند و در مواردی است که امکان بهینه سازی کامپیوتری یا تست تجربی وجود ندارد می‌تواند روشی قابل اتخاذ باشد.

(۲) همان‌طور که توضیح داده شد، برای طراحی روتور از تشابه هیدرولیکی استفاده شده است که فرض تئوری پشت روابط تشابه، ثابت باقی ماندن راندمان است که البته در عمل چنین اتفاقی نخواهد افتاد، زیرا اتلاف اصطکاکی در مجاری هیدرولیکی از قانون تشابه تبعیت نمی‌کند و ممکن است راندمان روتور جدید بیش‌تر یا کمتر از راندمان روتور اصلی باشد. اما در اینجا، کل هندسه توربوشارژر از نظر سایز به صورت یکنواخت تغییر نکرده است و تنها اندازه روتور تغییر داده شده است و سایر المان‌های هیدرولیکی مانند دیفیوزر و جمع‌کننده ثابت مانده‌اند. بنابراین راندمان نهایی قطعاً به نقطه متناظر خود وقتی همه اندازه‌های توربوشارژر تغییر می‌کند (با فرض تشابه اتلاف اصطکاکی) که برابر با راندمان اولیه است، تبدیل نمی‌شود. در اینجا علاوه بر این مسئله که تنها روتور تغییر اندازه داشته است، نقطه کاری توربوشارژر نیز متناظر با تبدیل نقاط قبل از رابطه تشابه نیست. زیرا دبی ثابت نگه داشته شده است تا درصد بازیافت تولید ثابت بماند. در نتیجه نقطه جدید به از نظر هیدرولیکی مشابه با نقطه قبل از تغییرات روتور نیست و بنابراین راندمان قطعاً تغییر خواهد یافته و این تغییر بسته به منحنی عملکرد توربوشارژر می‌تواند از راندمان اولیه بیش‌تر یا کمتر باشد. همانطور که از جدول ۱۰ ملاحظه می‌شود راندمان روتور دوم بالاتر و راندمان روتور سوم پایین‌تر از روتور اصلی می‌باشد که نشان می‌دهد در فشار بالا، جایگزینی روتور جدید علاوه بر صرفه جویی اقتصادی (بند ۳)، توان بازیافتی بیشتری را هم سبب می‌شود. طبیعتاً درصد بازیافت انرژی نیز متناسب با راندمان توربوشارژر تغییر خواهد کرد که در جدول نتایج نیز همین روند مشاهده می‌شود.

## پیوست

$$\text{معادله پیوستگی برای سیال تراکم ناپذیر:} \quad (1\text{پ})$$

$$\text{معادله مومنتوم برای سیال تراکم ناپذیر:} \quad (2\text{پ})$$

که در رابطه بالا  $\vec{V}$  بردار سرعت است.  $f$  برای مختصات دوار همانند یک نیروی حجمی عمل می‌کند و در واقع همان نیروی کوریولیس است و مطابق با رابطه زیر بدست می‌آید:

$$f = 2\rho\vec{V} \times \Omega_z \quad (3\text{پ})$$

در این رابطه  $\Omega_z$  سرعت دورانی روتور حول محور  $z$  است.

معادلات مدل توربولانسی انتقال تنش برشی:

معادله لزجت دینامیکی توربولانسی:

$$\mu_T = \frac{\rho a_1 K}{\max(a_1 \omega, S F_2)} \quad (4\text{پ})$$

معادله انرژی جنبشی توربولانسی:

$$\rho \frac{\partial K}{\partial t} + \rho (\vec{V} \cdot \nabla) K = P_k - \beta^* K \omega + \nabla^2 \left[ (\mu + \sigma_k \mu_T) K \right] \quad (5\text{پ})$$

معادله نرخ اتلاف انرژی توربولانسی:

$$\rho \frac{\partial \omega}{\partial t} + \rho (\vec{V} \cdot \nabla) \omega = \alpha S^2 - \beta \omega^2 + \nabla^2 \left[ (\mu + \sigma_k \mu_T) \omega \right] + 2(1 - F_1) \sigma_{\omega 2} \frac{1}{\omega} (\nabla K) \cdot (\nabla \omega) \quad (6\text{پ})$$

که در روابط بالا  $K$  انرژی جنبشی توربولانسی،  $\omega$  نرخ اتلاف انرژی توربولانسی،  $S$  مقدار ورتیسیته جریان است. مقادیر  $F_1$   $\sigma_k$   $\sigma_{\omega 2}$  مقادیری هستند که بر اساس مدل انتقال تنش برشی و بر حسب متغیرهای جریان معادلات جداگانه ای دارند که به عنوان نمونه می‌توان به مرجع [۱۸] مراجعه نمایید.

الگوریتم حل برای معادلات فشار الگوریتم سیمپل C، روش گسسته سازی معادلات مرتبه دوم، و نرم افزار حل میدان جریان انسسیس سی اف ایکس و دقت همگرایی نتایج تا ۰/۰۰۰۵ در نظر گرفته شده است.

## ۱- فهرست علائم و اختصارات

### منابع

- [1] A. Ali, R.A. Tufa, F. Macedonio, E. Curcio, E. Drioli, Membrane technology in renewable-energy-driven desalination, Renewable and Sustainable Energy Reviews, 81 (2018) 1-21.
- [2] D. Zarzo, D. Prats, Desalination and energy consumption. What can we expect in the near future?, Desalination, 427 (2018) 1-9.
- [3] T. Manth, M. Gabor, E. Oklejas Jr, Minimizing RO energy consumption under variable conditions of operation, Desalination, 157(1-3) (2003) 9-21.
- [4] V.G. Gude, Energy consumption and recovery in reverse osmosis, Desalination and water treatment, 36(1-3) (2011) 239-260.
- [5] C.R. Bartels, R. Franks, W. Bates, Design advantages for SWRO using advanced membrane technology, IDA Journal of Desalination and Water Reuse, 2(4) (2010) 21-25.
- [6] A.E. Sani, Design and synchronizing of Pelton turbine with centrifugal pump in RO package, Energy, 172 (2019) 787-793.
- [7] T.A. El-Sayed, A.A.A. Fatah, Performance of hydraulic turbocharger integrated with hydraulic energy management in SWRO desalination plants, Desalination, 379 (2016) 85-92.
- [8] J. Lozier, E. Oklejas, M. Silbernagel, The hydraulic turbocharger™: A new type of device for the reduction of feed pump energy consumption in reverse osmosis systems, Desalination, 75 (1989) 71-83.
- [9] A. Farooque, A. Jamaluddin, A. Al-Reweli, P. Jalaluddin, S. Al-Marwani, A. Al-Mobayed, A. Qasim, Parametric analyses of energy consumption and losses in SWCC SWRO plants utilizing energy recovery devices, Desalination, 219(1-3) (2008) 137-159.
- [10] M. Wilf, C. Bartels, Optimization of seawater RO systems design, Desalination, 173(1) (2005) 1-12.
- [11] C. Fritzmann, J. Löwenberg, T. Wintgens, T. Melin, State-of-the-art of reverse osmosis desalination, Desalination, 216(1-3) (2007) 1-76.

### علائم انگلیسی

$m^2$	A
mm	b
mm	D
%	ER
N	F
Hz	f
N	f
m	H
هـ	HP
kW	HPIP
توان ورودی به پمپ فشار قوی،	
ضریب لصطاک، ضریب تشابه	K
bar	P
$m^3/h$	Q
دبی جریان،	
عدد رینولدز	Re
mm	R
شعاع،	
لقی شعاعی یا محوری،	S
mm	
m/s	V
J	W
ارتفاع،	Z

### علائم یونانی

$\rho$	چگالی،
$\eta$	راندمان،
$\Omega$	سرعت دورانی،
$\omega$	نرخ انرژی توربولانس

### زیرنویس

$f$	سیال
$i$	ورودی
$o$	خروجی
$P$	پمپ
$T$	توربین

- [15] A.T. Bouma, J. Swaminathan, J.H. Lienhard, Metrics matter: accurately defining energy efficiency in desalination, *Journal of Heat Transfer*, 142(12) (2020) 122101.
- [16] A.J. Schunke, G.A. Hernandez Herrera, L. Padhye, T.-A. Berry, Energy recovery in SWRO desalination: current status and new possibilities, *Frontiers in Sustainable Cities*, 2 (2020) 9.
- [17] J.F. Gülich, Pump hydraulics and physical concepts, Berlin: Springer,, 2010, 69–144.
- [18] M. Lesieur, Turbulence in Fluids, Springer, 2008.
- [12] M.J. Guirguis, Energy recovery devices in seawater reverse osmosis desalination plants with emphasis on efficiency and economical analysis of isobaric versus centrifugal devices, University of South Florida, 2011.
- [13] C.F. Wan, T.-S. Chung, Energy recovery by pressure retarded osmosis (PRO) in SWRO-PRO integrated processes, *Applied energy*, 162 (2016) 687-698.
- [14] S.A. Urrea, F.D. Reyes, B.P. Suárez, J.A. de la Fuente Bencomo, Technical review, evaluation and efficiency of energy recovery devices installed in the Canary Islands desalination plants, *Desalination*, 450 (2019) 54-63.

چگونه به این مقاله ارجاع دهید

A. Eskandari Sani, Redesign of energy recovery device to keep the production recovery constant, *Amirkabir J. Mech Eng.*, 56(5) (2024) 651-678.

DOI: [10.22060/mej.2024.22968.7705](https://doi.org/10.22060/mej.2024.22968.7705)



UNCORRECTED PROOF